

สำนักหอสมุดกลาง พระจอมเกล้าลาดกระบัง

รถอินเวอร์ทเพนดูลัม

INVERTED PENDULUM ON CART



โดย

นายทรงกรด

ธิราชัย

นางสาวทัตยา

บุคคละนันท์

นายนพดล

จันทร์คุณภาส

ปฏิญานิพนธ์นี้เป็นส่วนหนึ่งของการศึกษาตามหลักสูตรปริญญาวิศวกรรมศาสตรบัณฑิต
ภาควิชาวิศวกรรมระบบควบคุม
สถาบันเทคโนโลยีพระจอมเกล้าเจ้าคุณทหารลาดกระบัง
ปีการศึกษา 2541

เลขที่.....
เลขทะเบียน..... 33959
วัน, เดือน, ปี..... 23 ก.ย. 2542

การใช้งานเพื่อการศึกษาเท่านั้น ไม่อนุญาตให้นำไปใช้ประโยชน์ด้านการค้า
สงวนลิขสิทธิ์ | หนังสือพิมพ์ที่พิมพ์เนื้อหาและต้องอ้างอิงถึงเจ้าของเอกสารทุกครั้งที่มีการนำไปใช้

รถอินเวอร์ทเพนดูลัม
INVERTED PENDULUM ON CART

โดย

นายทรงกรด	ธีราชัย	38014171
นางสาวทัตยา	ปุคคะนันท์	38014176
นายนพดล	จันทร์คุณภาส	38014221

อาจารย์ที่ปรึกษา

รองศาสตราจารย์ ดร. จงกล งามวิวิทย์

อาจารย์สุมิตร พนาอุดมทรัพย์

ปฏิญานិพนธ์นี้เป็นส่วนหนึ่งของการศึกษาตามหลักสูตรปริญญาวิศวกรรมศาสตรบัณฑิต
ภาควิชาวิศวกรรมระบบควบคุม
สถาบันเทคโนโลยีพระจอมเกล้าเจ้าคุณทหารลาดกระบัง
ปีการศึกษา 2541

เอกสารนี้เป็นเอกสารที่สงวนไว้สำหรับการใช้งานเพื่อการศึกษาเท่านั้น ไม่อนุญาตให้นำไปใช้ประโยชน์ด้านการค้า
ไม่ว่ากรณีใดๆ ทั้งสิ้น อีกทั้งห้ามมิให้ตัดแปลงเนื้อหาและต้องอ้างอิงถึงเจ้าของเอกสารทุกครั้งที่มีการนำไปใช้

ปริญญาานิพนธ์ปีการศึกษา 2541

ภาควิชาวิศวกรรมระบบควบคุม

คณะวิศวกรรมศาสตร์ สถาบันเทคโนโลยีพระจอมเกล้าเจ้าคุณทหารลาดกระบัง

เรื่อง รถอินเวอร์ทเพนดูลัม

INVERTED PENDULUM ON CART

โดย	นายทรงกรด	ธีราชัย	38014171
	นางสาวทัตยา	บุคคละนนท์	38014176
	นายนพดล	จันทร์คุณภาส	38014221

.....อาจารย์ที่ปรึกษา
(รองศาสตราจารย์ ดร. จงกล งามวิวิทย์)

.....อาจารย์ที่ปรึกษา
(อาจารย์สุमितร พนาอุดมทรัพย์)

รถอินเวอร์ทเพนดูลัม

INVERTED PENDULUM ON CART

โดย

นายทรงกรด ธีราชัย รหัสประจำตัว 38014171
นางสาวทัตยา ปุคคะฉนันทน์ รหัสประจำตัว 38014176
นายนพดล จันทรคุณภาส รหัสประจำตัว 38014221

อาจารย์ที่ปรึกษา

รองศาสตราจารย์ ดร. จงกล งามวิวิทย์

อาจารย์สุมิตร พนาอุดมทรัพย์

บทคัดย่อ

รถอินเวอร์ทเพนดูลัมเป็นระบบที่ไม่มีเสถียรภาพในตัวเอง ถูกออกแบบเพื่อควบคุมให้ก้านเพนดูลัมบนรถมีตำแหน่งในแนวตั้งจากกับพื้นตลอดเวลาถึงแม้จะได้รับการรบกวนจากภายนอกก็ตาม ตัวรถทำงานโดยใช้หลักการควบคุมโดยอาศัยสัญญาณป้อนกลับจากอุปกรณ์ตรวจจับ คือ โพเทนทิโอมิเตอร์ และเอ็นโคดเดอร์ ส่งไปยังคอมพิวเตอร์เพื่อทำการคำนวณการเคลื่อนที่ของรถและส่งสัญญาณออกไปควบคุมการเคลื่อนที่ของตัวรถต่อไป

ABSTRACT

The Inverted Pendulum on Cart is a naturally unstable system. Therefore, the goal of this project is to design and implement a state feedback controller which can keep the pendulum in the upright position even in the presence of disturbance. The control signal is generated to drive a cart by the computer's computation based on the designed control law using the measured outputs through sensor, potentiometer and encoder.

เอกสารนี้เป็นเอกสารที่สงวนไว้สำหรับการใช้งานเพื่อการศึกษาเท่านั้น ไม่อนุญาตให้นำไปใช้ประโยชน์ด้านการค้าไม่ว่ากรณีใดๆ ทั้งสิ้น อีกทั้งห้ามมิให้ตัดแปลงเนื้อหาและต้องอ้างอิงถึงเจ้าของเอกสารทุกครั้งที่มีการนำไปใช้

สารบัญ

เรื่อง	หน้า
บทคัดย่อ	i
สารบัญ	ii
สารบัญรูปภาพ	iv
บทที่ 1 บทนำ	1
บทที่ 2 ทฤษฎีและหลักการ	3
2.1 หลักการในการควบคุม	3
2.2 โครงสร้างของระบบ	4
2.2.1 โครงสร้างและส่วนประกอบรถอินเวอร์ตเพนดูลัม	4
2.2.2 ชุดควบคุมและเซ็นเซอร์	4
2.3 มอเตอร์ไฟฟ้ากระแสตรง	5
2.3.1 หลักการทำงานของมอเตอร์ไฟฟ้ากระแสตรง	5
2.3.2 พื้นฐานของระบบควบคุมมอเตอร์กระแสตรง	6
2.4 ทฤษฎีการวิเคราะห์ระบบด้วยวิธีสเตตสเปซ	8
บทที่ 3 ส่วนประกอบและวงจรโดยรวมของระบบ	11
3.1 วงจรเชื่อมต่อระหว่างคอมพิวเตอรืและอุปกรณ์ภายนอก	11
3.2 วงจรรับมอเตอร์	17
3.3 วงจรของตัวตรวจจับ	18
3.4 วงจรกำเนิดพัลส์วิดท์	20
บทที่ 4 การวิเคราะห์ระบบ	23
4.1 Control Analysis	23
4.2 การหาทรานส์เฟอร์ฟังก์ชันของระบบ	24
4.3 การประมาณค่าโมเดลของระบบจากผลตอบสนองที่ได้จากการทดลอง	25
บทที่ 5 สรุปผลและวิจารณ์	34
ภาคผนวก	
ภาคผนวก ก Flow Chart โปรแกรมควบคุมการเคลื่อนที่ของรถ	37
ภาคผนวก ข Flow Chart โปรแกรมกำเนิด PWM	41
ภาคผนวก ค โปรแกรมควบคุมการเคลื่อนที่ของรถ	43

เรื่อง	หน้า
ภาคผนวก ง โปรแกรมกำเนิด PWM	58
ภาคผนวก จ โปรแกรมหาค่าพารามิเตอร์ของระบบ	60
ภาคผนวก ฉ คำสั่งแสดงกราฟเอชท์พุทของระบบ	64
บรรณานุกรม	73
กิตติกรรมประกาศ	74



สารบัญรูปภาพ

	หน้า
รูปที่ 1.1 รูปภาพจำลองระบบรถอินเวอร์ทเพนดูลัม	2
รูปที่ 2.1 แสดงบล็อกไดอะแกรมโดยรวมของระบบ	3
รูปที่ 2.2 รถอินเวอร์ทเพนดูลัม	4
รูปที่ 2.3 โครงสร้างของระบบรถอินเวอร์ทเพนดูลัม	5
รูปที่ 2.4 ส่วนประกอบพื้นฐานของระบบควบคุมดิจิทัลมอเตอร์	7
รูปที่ 3.1 IBM PC system bus	11
รูปที่ 3.2 ตำแหน่งของ DIP Switch	12
รูปที่ 3.3 วงจรบนการ์ดอินเตอร์เฟส	13
รูปที่ 3.4 ไอซีเบอร์ 74LS245	14
รูปที่ 3.5 ไอซีเบอร์ 74LS688	14
รูปที่ 3.6 โครงสร้างพื้นฐานของ 8255	15
รูปที่ 3.7 วงจรป้องกันกระแสย้อนกลับและเลือกสัญญาณ	17
รูปที่ 3.8 วงจรรับมอเตอร์	18
รูปที่ 3.9 วงจรรับและปรับค่าจากโพเทนทิโอมิเตอร์	20
รูปที่ 3.10 วงจรกำเนิด PWM	21
รูปที่ 3.11 ไอซีเบอร์ 74LS374	22
รูปที่ 4.1 การแกว่งลูกตุ้มแบบ Simple Pendulum	24
รูปที่ 4.2 การแกว่งลูกตุ้มแบบ Inverted Pendulum เมื่อมีการเปลี่ยนแปลงระยะทาง	25
รูปที่ 4.3 เปรียบเทียบกราฟของการแกว่งลูกตุ้ม	26
รูปที่ 4.4 การปล่อยให้ลูกตุ้มตกแบบอินเวอร์ทเพนดูลัม	27
รูปที่ 4.5 กราฟของการปล่อยให้ลูกตุ้มตกแบบอินเวอร์ทเพนดูลัม	27
รูปที่ 4.6 กราฟระยะทางการเคลื่อนที่ของรถเมื่อ PWM=255	28
รูปที่ 4.7 กราฟความเร็วของรถเมื่อ PWM=255	28
รูปที่ 4.8 กราฟระยะทางจากการแทนค่าตัวแปร	29
รูปที่ 4.9 กราฟความเร็วจากการแทนค่าตัวแปร	29
รูปที่ 4.10 กราฟผลตอบสนองของระบบ	30

เอกสารนี้เป็นทรัพย์สินทางปัญญาเพื่อการศึกษาเท่านั้น ไม่อนุญาตให้นำไปใช้ประโยชน์ทางการค้า

ไม่ว่ากรณีใดๆ ทั้งสิ้น อีกทั้งห้ามมิให้ตัดแปลงเนื้อหาและต้องอ้างอิงถึงเจ้าของเอกสารทุกครั้งที่มีการนำไปใช้

รูปที่ 4.11	ค่ามุมของก้านเพนดูลัมเมื่อรถวิ่ง	31
รูปที่ 4.12	ค่าความเร็วเชิงมุมของก้านเพนดูลัมเมื่อรถวิ่ง	31
รูปที่ 4.13	ค่าตำแหน่งของรถ	32
รูปที่ 4.14	ค่าความเร็วของรถ	32
รูปที่ 4.15	เกาท์พุทของระบบ	33
รูปที่ ก-1	Main Program	37
รูปที่ ก-2	Initial_LM629	38
รูปที่ ก-3	Interrupt Service Routine	39
รูปที่ ก-4	Find_angle	40
รูปที่ ข-1	Main Program สร้าง PWM	41
รูปที่ ข-2	Interrupt Timer 0 Service Routine	42



บทที่ 1

บทนำ

วัตถุประสงค์ของโครงการ คือ

1. เพื่อศึกษาและสร้างต้นแบบรถอินเวอร์ทเพนดูลัม
2. ศึกษาทฤษฎีการควบคุมเสถียรภาพ และทดลองใช้ด้วยวิธีสเตสเปซ
3. นำความรู้ที่ได้รับจากการศึกษาและทดลองในห้องปฏิบัติการ ไปเป็นพื้นฐานในการจัดทำและประยุกต์ใช้ในโครงการ
4. ศึกษาถึงปัญหาที่เกิดขึ้นในโครงการ และแนวทางแก้ไข รวมถึงการพัฒนาระบบต่อไป

การควบคุมเสถียรภาพของรถอินเวอร์ทเพนดูลัมในโครงการนี้ ถูกออกแบบและสร้างให้มีการทำงานโดยอาศัยหลักการของระบบควบคุมที่มีสัญญาณป้อนกลับ

การทำงานของรถอินเวอร์ทเพนดูลัม คือ ตัวรถจะพยายามเลี้ยงแท่งอลูมิเนียมที่มีลูกตุ้มถ่วงอยู่ด้านบนให้แท่งอลูมิเนียมตั้งตรงตลอดเวลา โดยแท่งอลูมิเนียมจะเคลื่อนที่ได้ในทิศทางเดียวตามแนวยาวของรถ และตัวรถเคลื่อนที่ได้แกนเดียว คือเคลื่อนที่ไปข้างหน้าหรือเคลื่อนที่ถอยหลังเท่านั้น โดยจะมีตัวตรวจจับการเปลี่ยนแปลงองศาของแท่งอลูมิเนียม ว่าเบี่ยงเบนไปจากแนวตั้งจากกับพื้นไปเป็นมุมเท่าไร และนำค่าที่ได้ไปแปลงเป็นสัญญาณดิจิทัลแล้วส่งให้ซีพียูประมวลผล และส่งสัญญาณไปควบคุมการหมุนของมอเตอร์ผ่านวงจรขับมอเตอร์ว่าจะให้รถเคลื่อนที่ไปในทิศทางใด

ในโครงการนี้จะใช้คอมพิวเตอร์ในการประมวลผลและควบคุมการทำงานของรถ พร้อมแสดงผลตอบสนองของการเคลื่อนที่ของก้านเพนดูลัมและตัวรถ แล้วพล็อตกราฟผ่านทางหน้าจอคอมพิวเตอร์

บทที่ 2

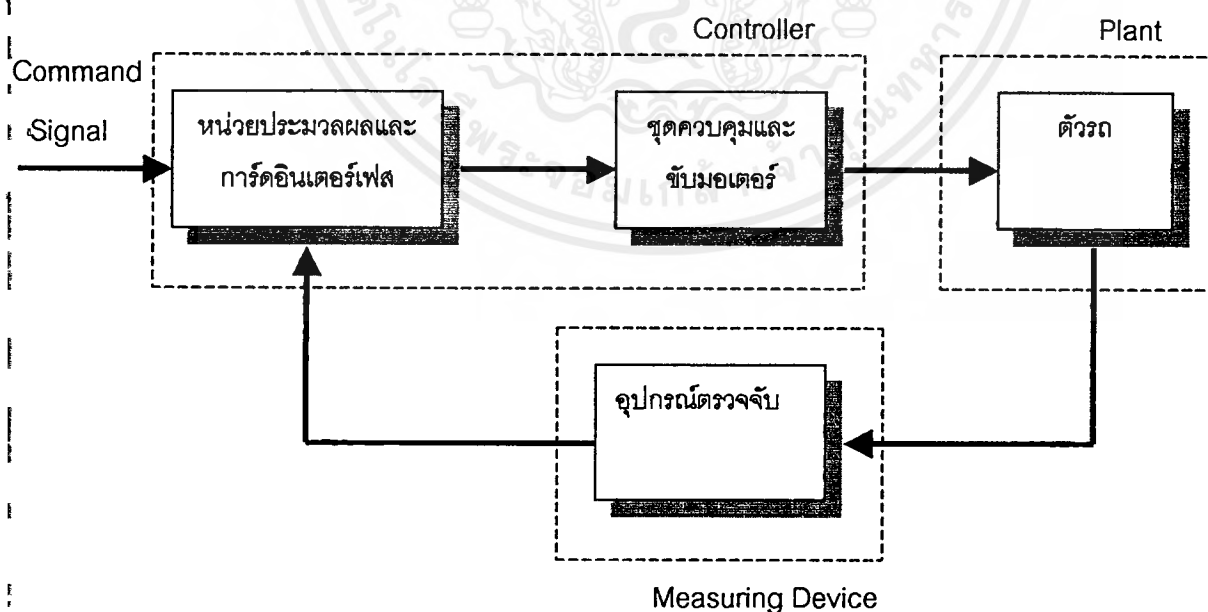
ทฤษฎีและหลักการ

2.1 หลักการในการควบคุม

ในการควบคุมระบบการเคลื่อนที่ของรถอินเวอร์ทเพนดูลัมให้ได้ตามต้องการนั้น การควบคุมที่เป็นสิ่งสำคัญที่สุด คือ การควบคุมการหมุนของมอเตอร์ซึ่งเป็นตัวการสำคัญที่ทำให้รถเคลื่อนที่ไปด้วยความเร็วและทิศทางที่ถูกต้องและสัมพันธ์กับทิศทางการแกว่งตัวของก้านเพนดูลัมเพื่อให้ก้านเพนดูลัมอยู่ในตำแหน่งตั้งฉากตลอดเวลา

การควบคุมการทำงานของมอเตอร์เป็นการควบคุมแบบดิจิทัล (Digital Control) ซึ่งได้จากการทำงานร่วมกันของ คอมพิวเตอร์ ชุดควบคุม และเซ็นเซอร์ (Sensor) โดยเซ็นเซอร์จะทำการวัดสัญญาณป้อนกลับ (Feedback Signal) ค่าตำแหน่งของรถ และค่ามุมการแกว่งของก้านอินเวอร์ทเพนดูลัม แล้วนำค่าที่ได้มาคำนวณหาค่าสเตต (State) ต่าง ๆ และค่าสัญญาณควบคุม (Control Signal) หรือสัญญาณความเร็วอ้างอิง (Velocity Reference Command) เพื่อส่งไปยังชุดควบคุมการหมุนของมอเตอร์ต่อไป

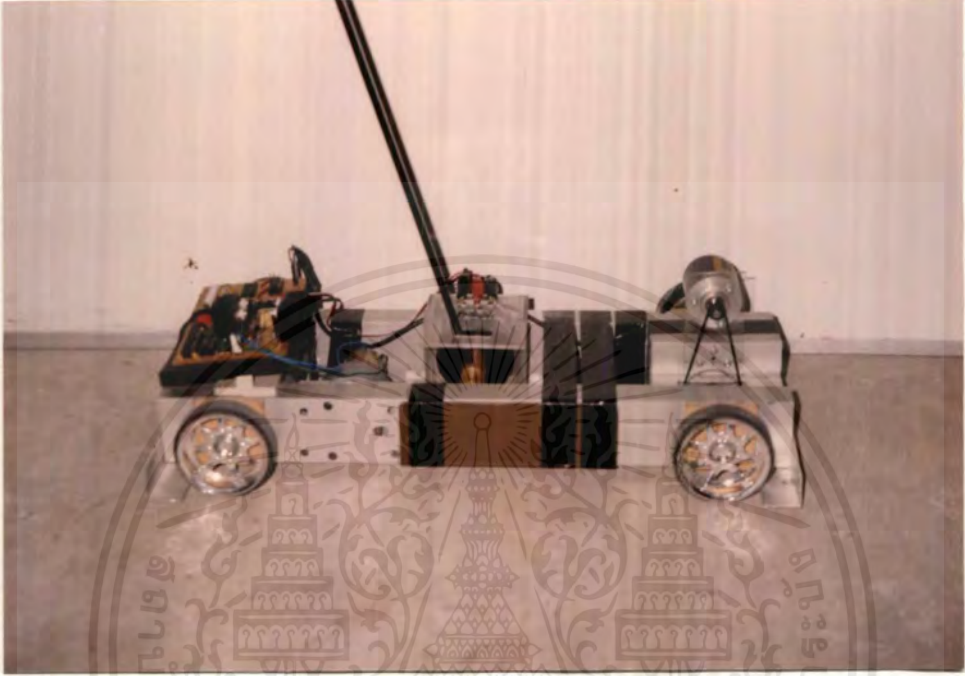
บล็อกไดอะแกรมของระบบแสดงได้ดังรูป



รูปที่ 2.1 แสดงบล็อกไดอะแกรมโดยรวมของระบบ

2.2 โครงสร้างของระบบ

2.2.1 โครงสร้างและส่วนประกอบรถอินเวอร์ทเพนดูลัม ตัวรถถูกออกแบบให้มีลักษณะดังรูป



รูปที่ 2.2 รถอินเวอร์ทเพนดูลัม

2.2.2 ชุดควบคุมและเซ็นเซอร์ สามารถแบ่งได้เป็น 3 ส่วนคือ

ส่วนที่ 1 ส่วนตรวจจับ (Sensor)

เซ็นเซอร์เป็นส่วนประกอบที่สำคัญในระบบคอนโทรลที่มีการป้อนกลับเพราะสัญญาณที่ป้อนกลับผ่านมาจากเซ็นเซอร์นั้นสามารถนำมาวิเคราะห์หาคุณสมบัติของระบบหรือสามารถบอกสถานะของระบบขณะนั้นได้ว่าเป็นอย่างใด ซึ่งจะได้นำมาหาสัญญาณควบคุมที่จะส่งไปควบคุมระบบ ดังนั้นถ้าสัญญาณป้อนกลับที่ได้มีความถูกต้องมากและมีสัญญาณรบกวนน้อย ก็จะได้ค่าสัญญาณควบคุมที่สามารถควบคุมระบบให้เกิดประสิทธิภาพสูงสุดได้ สำหรับโครงงานนี้ประกอบไปด้วยเซ็นเซอร์ 2 ชนิด คือ เอ็นโคดเดอร์ (Encoder) ที่ติดอยู่กับมอเตอร์ใช้ในการตรวจจับทิศทางและการเคลื่อนที่และความเร็วของรถ และ โปเทนทิโอมิเตอร์ (Potentiometer) ใช้ในการวัดค่ามุมที่เบี่ยงเบนไปของก้านเพนดูลัม แล้วสัญญาณที่วัดได้จากทั้งเอ็นโคดเดอร์ และ โปเทนทิโอมิเตอร์จะถูกส่งกลับไปยังหน่วยประมวลผลกลางและแสดงผล ซึ่งก็คือคอมพิวเตอร์ต่อไป

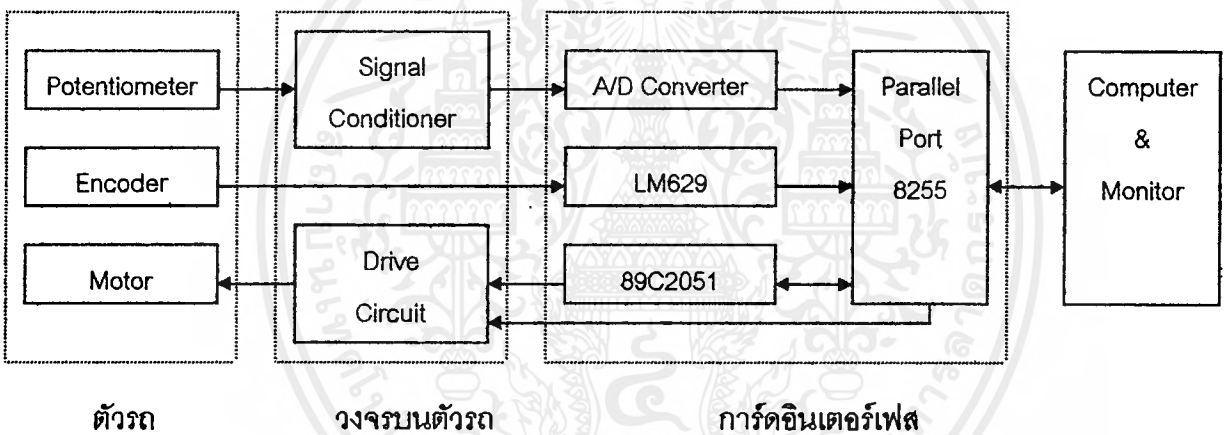
เอกสารนี้เป็นเอกสารที่สงวนไว้สำหรับการใช้งานเพื่อการศึกษาเท่านั้น เมื่อนุญาติให้นำไปใช้ประโยชน์ด้านการค้าไม่ว่ากรณีใดๆ ทั้งสิ้น อีกทั้งห้ามมิให้ดัดแปลงเนื้อหาและต้องอ้างอิงถึงเจ้าของเอกสารทุกครั้งที่มีการนำไปใช้

ส่วนที่ 2 หน่วยประมวลผลกลางและควบคุม

ได้แก่ คอมพิวเตอร์ส่วนบุคคล (Personal Computer , PC) และการ์ดอินเตอร์เฟส เลือกใช้ IBM PC เพราะสามารถนำมาต่อใช้งานร่วมกับอุปกรณ์ภายนอกต่าง ๆ ได้ง่าย มีความคล่องตัวสูง โดยจะใช้ไอซีเบอร์ LM629 เป็นตัวอ่านค่าพัลส์จากเอ็นโคเดอร์ทำให้รู้ตำแหน่งและความเร็วของรถ คอมพิวเตอร์จะแสดงค่าที่รับมาจากเซ็นเซอร์ผ่านทางหน้าจอและคอมพิวเตอร์จะประมวลผลแล้วส่งสัญญาณควบคุมไปยังวงจรรับมอเตอร์ การติดต่อกับคอมพิวเตอร์กระทำผ่านทางการ์ดอินเตอร์เฟส

ส่วนที่ 3 วงจรรับมอเตอร์

เป็นวงจรที่ควบคุมการหมุนมอเตอร์ซึ่งเป็นอุปกรณ์ที่ทำให้รถเคลื่อนที่ โดยรายละเอียดของวงจรรับมอเตอร์จะได้กล่าวถึงในบทต่อไป



รูปที่ 2.3 โครงสร้างของระบบรถอินเวอร์ตเพนดูลัม

2.3 มอเตอร์ไฟฟ้ากระแสตรง

2.3.1 หลักการทำงานของมอเตอร์ไฟฟ้ากระแสตรง

มอเตอร์ไฟฟ้ากระแสตรงเป็นทรานสดิวเซอร์แรงบิด ซึ่งมีการออกแบบให้มีคุณลักษณะพิเศษ คือ แรงบิดของเพลลามอเตอร์ไฟฟ้ากระแสตรงกับกระแสอาร์เมเจอร์ แรงบิดของเพลลาของมอเตอร์จะได้จากผลระหว่างสนามแม่เหล็กและขดลวดตัวนำ หลักการในที่นี้กระแสที่ไหลในขดลวดตัวนำจะสร้างฟิวด์ที่ประกอบด้วยเส้นแรงแม่เหล็ก และขดลวดตัวนำเหล่านั้นอยู่ห่างจากศูนย์กลางการหมุนเท่ากับ r ความสัมพันธ์ระหว่างแรงบิดของเพลลาและกระแสเท่ากับ

เอกสารนี้เป็นเอกสารที่สงวนไว้สำหรับการใช้งานเพื่อการศึกษาเท่านั้น ไม่อนุญาตให้นำไปใช้ประโยชน์ด้านการค้าไม่ว่ากรณีใดๆ ทั้งสิ้น อีกทั้งห้ามมิให้ตัดแปลงเนื้อหาและต้องอ้างอิงถึงเจ้าของเอกสารทุกครั้งที่มีการนำไปใช้

$$T = K\dot{\theta}$$

- เมื่อ T คือ แรงบิดของเพลา มีหน่วยเป็น นิวตัน-เมตร
 $\dot{\theta}$ คือ เส้นแรงแม่เหล็ก มีหน่วยเป็น เวเบอร์
 I คือ กระแส มีหน่วยเป็น แอมแปร์
 K คือ ค่าคงที่

ดังนั้นแรงบิดของเพลาจะเป็นสัดส่วนโดยตรงกับผลคูณของเส้นแรงแม่เหล็ก และกระแสเมื่อขดลวดตัวนำเคลื่อนที่ในสนามแม่เหล็กก็จะทำให้เกิดโวลต์เตจตกคร่อมตัวมันเอง โวลต์เตจนี้จะเป็นสัดส่วนกับความเร็วของเพลาของมอเตอร์และตำแหน่งไหลของกระแส ความสัมพันธ์ระหว่างโวลต์เตจย้อนกลับนี้และความเร็วของเพลามอเตอร์ คือ

$$E = K\dot{\theta}W$$

- เมื่อ E คือ โวลต์เตจย้อนกลับ มีหน่วยเป็น โวลต์
 $\dot{\theta}$ คือ เส้นแรงแม่เหล็ก มีหน่วยเป็น เวเบอร์
 W คือ ความเร็วของมอเตอร์ มีหน่วยเป็น เรเดียน/วินาที

2.3.2 พื้นฐานของระบบควบคุมมอเตอร์กระแสตรง

ส่วนประกอบพื้นฐานของระบบควบคุมมอเตอร์กระแสตรงประกอบด้วยบล็อกที่สำคัญ 4

บล็อก คือ

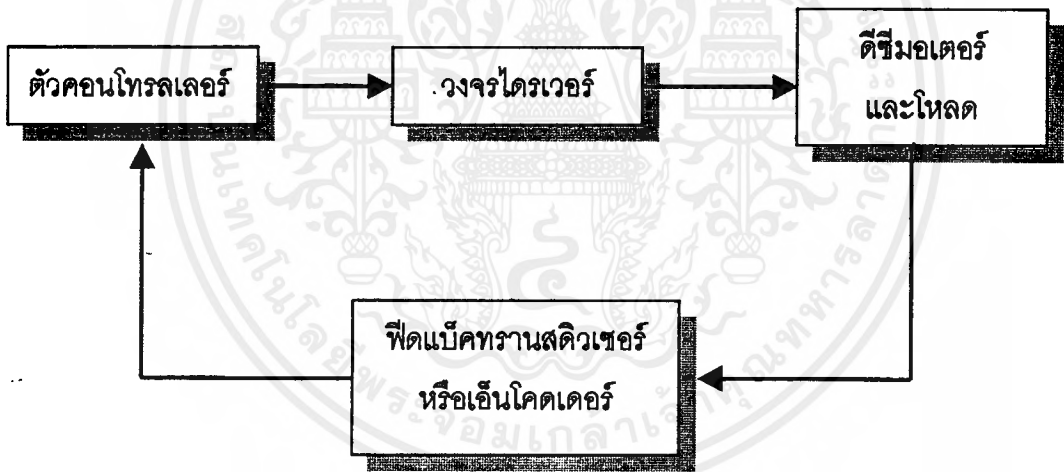
1. ตัวคอนโทรลเลอร์
2. วงจรไดรเวอร์หรือเพาเวอร์แอมพลิไฟร์
3. ฟีดแบ็คทรานสดิวเซอร์หรือเอ็นโคดเดอร์
4. ดีซีมอเตอร์และโหลด

ตัวคอนโทรลเลอร์ เป็นส่วนของระบบที่ทำให้เกิดสัญญาณคอนโทรลไปยังดีซีมอเตอร์และโหลด คอนโทรลเลอร์ที่ให้สัญญาณคอนโทรลเป็นสัญญาณอนาล็อก เราเรียกว่าอนาล็อกคอนโทรลเลอร์ ส่วนคอนโทรลเลอร์ที่ให้สัญญาณคอนโทรลเป็นสัญญาณดิจิตอล เราเรียกว่าดิจิตอลคอนโทรลเลอร์

วงจรไดรเวอร์ เป็นส่วนประกอบของระบบที่อยู่ระหว่างตัวคอนโทรลเลอร์กับดีซีมอเตอร์และโหลดมีหน้าที่ปรับรูปและขยายสัญญาณให้เหมาะสมก่อนที่จะป้อนเข้าไปยังดีซีมอเตอร์และโหลด วงจรไดรเวอร์ส่วนใหญ่ ได้แก่ เพาเวอร์แอมพลิไฟร์ซึ่งอาจแบ่งย่อยออกเป็นลิเนียร์เพาเวอร์แอมพลิไฟร์และพัลซวิดโมดูเลชันแอมพลิไฟร์

ฟีดแบ็คทรานสดิวเซอร์หรือเอ็นโคดเดอร์ เป็นสิ่งประดิษฐ์ที่ใช้รับรู้หรือตีเทคสัญญาณเอาท์พุทที่ต้องการ โดยไม่มีผลของการโหลดตั้ง (loading) สัญญาณที่ตีเทคได้นี้จะป้อนกลับไปเปรียบเทียบกับสัญญาณอ้างอิงทำให้ได้สัญญาณผิดพลาด (error) ฟีดแบ็คทรานสดิวเซอร์แบ่งออกได้เป็น 2 แบบ คือ อนุาล็อกทรานสดิวเซอร์ คือสิ่งประดิษฐ์ใช้เปลี่ยนพลังงานรูปหนึ่งให้เป็นสัญญาณอนุาล็อก ได้แก่ พวกทาโคเจนเนอเรเตอร์ โพเทนทิโอมิเตอร์ และชิงโคร เป็นต้น ส่วนฟีดแบ็คทรานสดิวเซอร์อีกแบบหนึ่ง คือ ดิจิตอลทรานสดิวเซอร์ เป็นสิ่งประดิษฐ์ที่ใช้เปลี่ยนพลังงานรูปหนึ่งให้เป็นสัญญาณดิจิตอล ได้แก่ พวกอินครีเมนท์เอ็นโคดเดอร์ รีโซลเวอร์ แมกเนติกพิกอัฟ เป็นต้น

ดีซีมอเตอร์และโหลด คือระบบที่ถูกคอนโทรลหรือส่วนที่ออกแรงทำงานซึ่งจะเป็นเครื่องจักรกล (ดีซีมอเตอร์) หรืออะไรก็ตามที่ให้ตัวแปร ดีซีมอเตอร์ในที่นี้เป็นแบบแม่เหล็กถาวรที่มีคุณสมบัติการทำงานสูง มีอาร์เมเจอร์อินดักแตนซ์และแรงเฉื่อยของโรเตอร์ต่ำ



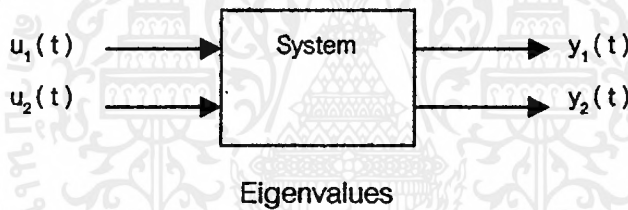
รูปที่ 2.4 ส่วนประกอบพื้นฐานของระบบควบคุมดีซีมอเตอร์

2.4 ทฤษฎีการวิเคราะห์ระบบด้วยวิธีสเปซ (State – Space Analysis)

การวิเคราะห์ระบบแบบ Classical Control นั้น ระบบจะประกอบด้วยอินพุตและเอาต์พุตอย่างละ 1 ตัวเท่านั้น



แต่สำหรับระบบแบบ Modern Control ระบบจะมีความซับซ้อนมากขึ้น โดยจะประกอบด้วยอินพุตและเอาต์พุตหลายตัว การวิเคราะห์ระบบแบบนี้จะอยู่บนพื้นฐานของหลักการวิเคราะห์แบบสเตท (The Concept of State)



จากสมการ Linear Differential Equations

$$y^{(n)} + a_1 y^{(n-1)} + \dots + a_{n-1} \dot{y} + a_n y = u$$

ให้

$$\begin{aligned} x_1 &= y \\ x_2 &= \dot{y} \\ x_{n-1} &= y^{(n-2)} \\ &\vdots \\ x_n &= y^{(n-1)} \end{aligned}$$

จะได้

$$\begin{aligned} \dot{x}_1 &= \dot{y} = x_2 \\ \dot{x}_2 &= \ddot{y} = x_3 \\ &\vdots \\ \dot{x}_{n-1} &= y^{(n-1)} = x_n \\ \dot{x}_n &= y^{(n)} = -a_n x_1 - a_{n-2} x_2 - \dots - a_1 x_n + u \end{aligned}$$

เอกสารนี้เป็นเอกสารที่สงวนไว้สำหรับการใช้งานเพื่อการศึกษาเท่านั้น ไม่อนุญาตให้นำไปใช้ประโยชน์ด้านการค้าไม่ว่ากรณีใดๆ ทั้งสิ้น อีกทั้งห้ามมิให้ตัดแปลงเนื้อหาและต้องอ้างอิงถึงเจ้าของเอกสารทุกครั้งที่มีการนำไปใช้

เขียนสมการให้อยู่ในรูปเมทริกซ์

$$\begin{bmatrix} \dot{x}_1 \\ \dot{x}_2 \\ \vdots \\ \dot{x}_{n-1} \\ \dot{x}_n \end{bmatrix} = \begin{bmatrix} 0 & 1 & 0 & \dots & 0 \\ 0 & 0 & 1 & \dots & 0 \\ \vdots & \vdots & \vdots & \ddots & \vdots \\ 0 & 0 & 0 & \dots & 1 \\ -a_n & -a_{n-1} & -a_{n-2} & \dots & -a_1 \end{bmatrix} \begin{bmatrix} x_1 \\ x_2 \\ \vdots \\ x_{n-1} \\ x_n \end{bmatrix} + \begin{bmatrix} 0 \\ 0 \\ \vdots \\ 0 \\ 1 \end{bmatrix} u$$

จะได้สมการสถานะ (State Equation) ของระบบ คือ

$$\dot{X} = AX + BU$$

เมื่อ **A** คือ System Matrix

B คือ Input Vector

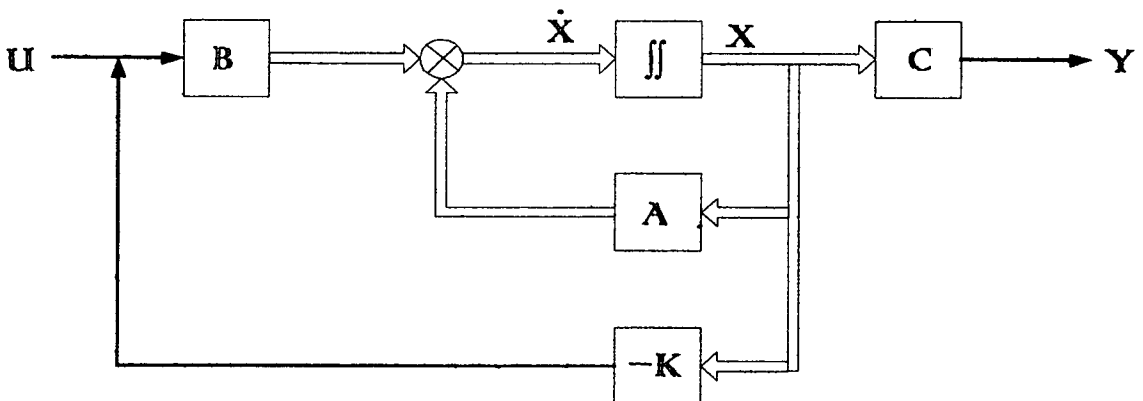
และ $y = [1 \ 0 \ 0 \ \dots \ 0] \begin{bmatrix} x_1 \\ x_2 \\ \vdots \\ x_{n-1} \\ x_n \end{bmatrix}$

จะได้สมการเอาต์พุต (Output Equation) ของระบบคือ

$$Y = CX$$

เมื่อ **C** คือ Output Vector

เมื่อทำการป้อนกลับระบบด้วยค่าเกน (Gain) ค่าหนึ่ง



เอกสารนี้เป็นเอกสารที่สงวนไว้สำหรับการใช้งานเพื่อการศึกษาเท่านั้น ไม่อนุญาตให้นำไปใช้ประโยชน์ด้านการค้า
ไม่ว่ากรณีใดๆ ทั้งสิ้น อีกทั้งห้ามมิให้ตัดแปลงเนื้อหาและต้องอ้างอิงถึงเจ้าของเอกสารทุกครั้งที่มีการนำไปใช้

นั่นคือ $U = -KX \implies$ Control Law

เมื่อ K คือ Feedback Gain

ทดสอบ Controllability ของระบบ

สร้างเมตริกซ์ Q_c จากเมตริกซ์ และ

$$Q_c = [B : AB : A^2B : \dots : A^{n-1}B]_{n \times n}$$

เรียกเมตริกซ์นี้ว่า Controllability Matrix

แล้วทดสอบว่า Q_c มี Rank = n หรือไม่ ถ้า Rank(Q_c) = n หรือ $\det Q_c \neq 0$ ระบบจะสามารถควบคุมได้ (Controllable)

จะค้นหา Transformation Matrix , T

เมื่อ $T = Q_c W$

$$W = \begin{bmatrix} a_{n-1} & a_{n-2} & \dots & a_1 & 1 \\ a_{n-2} & a_{n-3} & & 1 & 0 \\ \vdots & \vdots & \vdots & \vdots & \vdots \\ a_1 & 1 & 0 & 0 \\ 1 & 0 & \dots & 0 & 0 \end{bmatrix}$$

เมื่อ a_i เป็นสัมประสิทธิ์ของสมการคุณลักษณะ (Characteristic Equation)

$$|sI - A| = s^n + \alpha_1 s^{n-1} + \dots + \alpha_{n-1} s + \alpha_n$$

ต้องการให้โพลวงปิด หรือ Eigenvalue ของระบบเป็น $\mu_1, \mu_2, \dots, \mu_n$

$$(s - \mu_1)(s - \mu_2) \dots (s - \mu_n) = 0$$

$$s^n + \alpha_1 s + \dots + \alpha_{n-1} s + \alpha_n = 0$$

เพราะฉะนั้น

$$(s - \mu_1)(s - \mu_2) \dots (s - \mu_n) = s^n + \alpha_1 s + \dots + \alpha_{n-1} s + \alpha_n$$

จะได้

$$K = [\alpha_n - a_n \quad \alpha_{n-1} - a_{n-1} \quad \dots \quad \alpha_2 - a_2 \quad \alpha_1 - a_1] T^{-1}$$

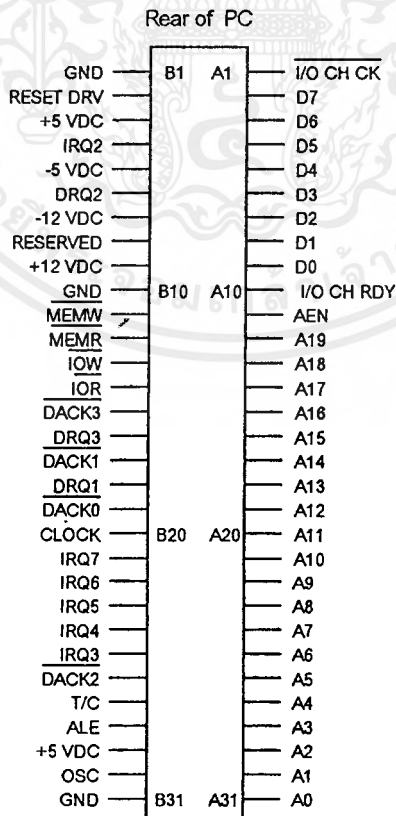
บทที่ 3

ส่วนประกอบและวงจรโดยรวมของระบบ

3.1 วงจรเชื่อมต่อระหว่างคอมพิวเตอร์และอุปกรณ์ภายนอก

การควบคุมอุปกรณ์ภายนอกโดยใช้เครื่องคอมพิวเตอร์นั้น จะต้องทำให้เครื่องคอมพิวเตอร์ติดต่อกับอุปกรณ์ภายนอกให้ได้เสียก่อน การติดต่อสื่อสารระหว่างตัวรถกับคอมพิวเตอร์ในโครงการนี้จะทำผ่านการ์ดิอินเตอร์เฟส (Interface Card) ซึ่งเป็นการ์ดิที่ถูกออกแบบขึ้นเพื่อใช้ในการควบคุมและส่งผ่านข้อมูลโดยเฉพาะ และยังได้รวมชิปไอซีเบอร์ LM629 เพื่อใช้เป็นตัวอ่านค่าจากเอ็นโคเดอร์ และไอซีที่ทำหน้าที่เปลี่ยนสัญญาณอนาล็อกเป็นสัญญาณดิจิตอล คือ ไอซีเบอร์ ADC0848 และไมโครคอนโทรลเลอร์เบอร์ 89C2051 เพื่อใช้เป็นตัวกำเนิด Pulse Width Modulation โดยวงจรเชื่อมต่อนี้ทำหน้าที่เป็นเหมือนพอร์ท รวมทั้งทำหน้าที่เป็นบัฟเฟอร์ของสัญญาณข้อมูล และสัญญาณควบคุมต่าง ๆ ด้วย

ภายในเครื่องคอมพิวเตอร์จะมีส่วนที่ใช้เชื่อมต่อกับอุปกรณ์ภายนอก โดยจะเป็นช่องเสียบที่เรียกว่า SLOT PC โดยตำแหน่งบั๊ตใน IBM คอมพิวเตอร์ (IBM PC system bus) แสดงได้ดังนี้



รูปที่ 3.1 IBM PC system bus

เอกสารนี้เป็นเอกสารที่สงวนไว้สำหรับการใช้งานเพื่อการศึกษาเท่านั้น ไม่อนุญาตให้นำไปใช้ประโยชน์ด้านการค้าไม่ว่ากรณีใดๆ ทั้งสิ้น อีกทั้งห้ามมิให้คัดแปลงเนื้อหาและต้องอ้างอิงถึงเจ้าของเอกสารทุกครั้งที่มีการนำไปใช้

สัญญาณที่ออกจาก IBM PC system bus ที่การ์ดอินเตอร์เฟสใช้ มีดังนี้

A0 – A9 เป็นแอดเดรสของระบบที่ใช้ติดต่อกับหน่วยความจำและอุปกรณ์อินพุท เอาท์พุท

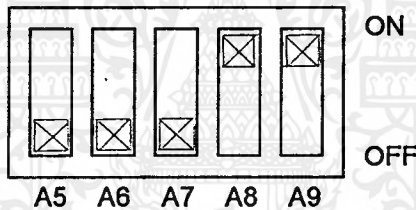
D0 - D9 เป็นสัญญาณข้อมูลขนาด 8 ใช้ติดต่อกับหน่วยความจำของไมโครโปรเซสเซอร์

IOW เป็นสัญญาณเขียนข้อมูลลงบนอุปกรณ์อินพุท เอาท์พุท สัญญาณนี้ควบคุมโดยไมโครโปรเซสเซอร์

IOR เป็นสัญญาณอ่านข้อมูลจากอุปกรณ์อินพุท เอาท์พุท สัญญาณนี้ควบคุมโดยไมโครโปรเซสเซอร์

AEN คือสัญญาณ Enable Address เป็นสัญญาณเอาท์พุท

แอดเดรสที่คอมพิวเตอร์อนุญาตให้ใช้ในการพัฒนาเพื่อการติดต่อระหว่างอุปกรณ์ภายนอกกับคอมพิวเตอร์ อยู่ที่ตำแหน่ง 30F – 31F การนำแอดเดรสนี้ไปใช้สามารถทำได้โดยการเซ็ทตำแหน่งของ DIP Switch บนการ์ดอินเตอร์เฟส ให้ตรงตามตำแหน่งที่ต้องการใช้ การติดต่อกับเครื่องคอมพิวเตอร์นี้ใช้การติดต่อพอร์ทแบบตายตัว (Fix decode port) การปรับตั้งตำแหน่งของ DIP Switch สำหรับ Decode Address แสดงได้ดังรูป

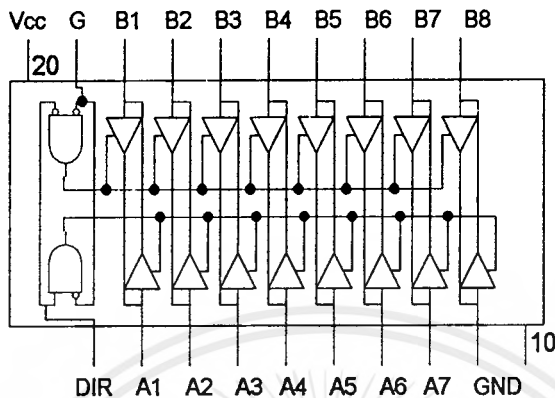


รูปที่ 3.2 ตำแหน่งของ DIP Switch

วงจรบนการ์ดอินเตอร์เฟส แสดงได้ดังรูป 3.3

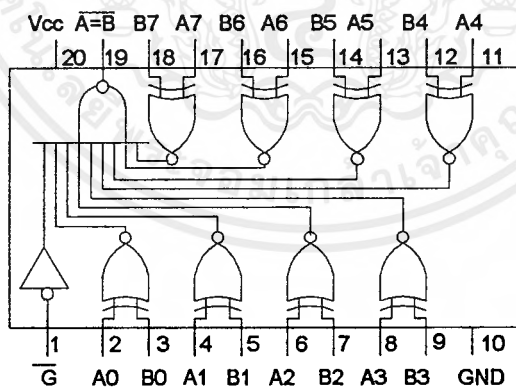
โดยอินเทอร์เฟซการ์ดนี้จะประกอบด้วยส่งต่าง ๆ คือ

- ชิพที่ทำหน้าที่เป็นตัวบัฟเฟอร์ข้อมูล เลือกใช้ไอซีเบอร์ 74LS245 ซึ่งเป็นบัฟเฟอร์สองทิศทางแต่ในโครงการนี้กำหนดให้ทำงานเพียงทิศทางเดียว โดยขาของ 74LS245 แสดงได้ดังนี้



รูปที่ 3.4 ไอซีเบอร์ 74LS245

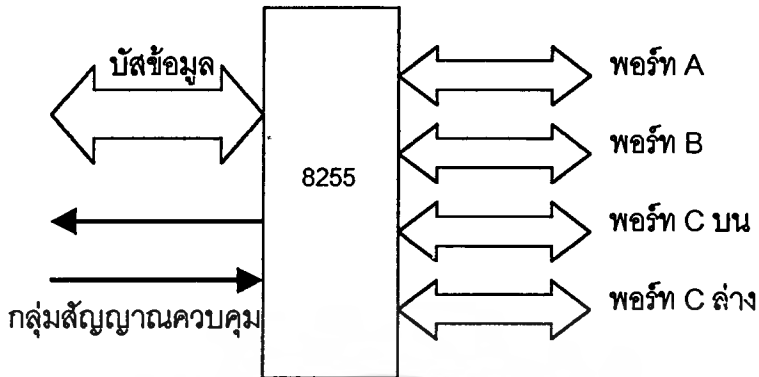
- Comparator เลือกใช้ไอซีเบอร์ 74LS688 เป็นตัวดีโค้ดแอดเดรส (Decode Address) กำหนดการทำงานของวงจรต่าง ๆ บนการ์ดว่าจะให้ทำงานเมื่อใด โดยเมื่อแอดเดรสของระบบบัสของคอมพิวเตอร์ตรงกับตำแหน่งที่ตั้งไว้โดย DIP Switch ก็จะมีสัญญาณเลือกชิปสั่งให้ชิบบนการ์ดอินเทอร์เฟซทำงานตามวงจรที่ต่อเอาไว้โดยผ่านเกตต่าง ๆ ในไอซีเบอร์ 74LS688 แสดงได้ดังนี้



รูปที่ 3.5 ไอซีเบอร์ 74LS688

- ชิพที่ทำหน้าที่เป็นพอร์ทแบบขนาน เลือกใช้ไอซีเบอร์ 8255 ที่เป็นไอซีในตระกูลของ 8080 ที่บริษัทอินเทลได้ออกแบบมาให้ใช้งานร่วมกับซีพียู 8080 อย่างไรก็ตามเราสามารถประยุกต์ใช้กับไมโครโปรเซสเซอร์ตัวอื่น ๆ ได้เช่นกัน เพราะใช้งานได้ง่ายและมีความคล่องตัวสูง การออกแบบที่ต้อง

ใช้พอร์ทขนานมักเลือกใช้ 8255 เป็นตัวอินเตอร์เฟสกับอุปกรณ์ภายนอก 8255 เป็นไอซีที่มี 40 ขา ใช้ต่อเป็นพอร์ทให้ไมโครโปรเซสเซอร์ได้ 3 พอร์ท โดยมีโครงสร้างพื้นฐานดังแสดงในรูป



รูปที่ 3.6 โครงสร้างพื้นฐานของ 8255

การเรียกพอร์ทของ 8255 จะเรียกพอร์ทต่าง ๆ ว่า พอร์ท A พอร์ท B และ พอร์ท C ที่พิเศษคือ พอร์ททุกพอร์ทสามารถเป็นได้ทั้งพอร์ทอินพุตและพอร์ทเอาต์พุต

การทำงานของ 8255 จะใช้สัญญาณควบคุมจากไมโครโปรเซสเซอร์มาควบคุมการทำงาน โดยไมโครโปรเซสเซอร์จะส่งคำสั่งมาโปรแกรมการทำงานหรือกำหนดรูปแบบของพอร์ทให้เป็นอินพุตหรือเอาต์พุตได้

การใช้งาน 8255 จะต้องส่งรหัสควบคุม (Control Code) เข้าไปยังพอร์ทข้อมูลควบคุมเพื่อควบคุมการทำงานของ 8255 ซึ่งมีหลายโหมดแต่แต่ละโหมดจะแตกต่างกันออกไป การโปรแกรมให้ 8255 ทำงานจะทำได้ 3 โหมด คือ โหมด 0 โหมด 1 และโหมด 2

การโปรแกรม 8255 คือ การให้ค่ารหัสบิตต่างๆ เข้าไปในรหัสควบคุมแล้วส่งไปยังรีจิสเตอร์ของพอร์ทควบคุม ความหมายของบิตต่างๆ มีดังนี้

D7	D6	D5	D4	D3	D2	D1	D0
----	----	----	----	----	----	----	----

บิต D7 เป็นบิตที่แสดงรหัสคำสั่งควบคุม ถ้าเป็น 1 หมายถึงรหัสควบคุมนี้จะมีผลต่อการเปลี่ยนแปลงการเซตโหมดต่างๆ ของ 8255

บิต D6 และ D5 เป็นการเลือกโหมดของพอร์ท A

บิต D4 ถ้าเป็น 0 หมายถึงพอร์ท A เป็นเอาต์พุต ถ้าเป็น 1 หมายถึงพอร์ท A เป็นอินพุต

บิต D3 ถ้าเป็น 0 หมายถึงพอร์ท C บนเป็นเอาต์พุต ถ้าเป็น 1 หมายถึงพอร์ท C บนเป็นอิน

พุต

เอกสารนี้เป็นเอกสารที่สงวนไว้สำหรับการใช้งานเพื่อการศึกษาเท่านั้น ไม่อนุญาตให้นำไปใช้ประโยชน์ด้านการค้าไม่ว่ากรณีใดๆ ทั้งสิ้น อีกทั้งห้ามมิให้ตัดแปลงเนื้อหาและต้องอ้างอิงถึงเจ้าของเอกสารทุกครั้งที่มีการนำไปใช้

บิต D2 เป็นการเลือกโหมดของพอร์ท B

บิต D1 ถ้าเป็น 0 หมายถึงพอร์ท B เป็นเอาต์พุท ถ้าเป็น 1 หมายถึงพอร์ท B เป็นอินพุท

บิต D0 ถ้าเป็น 0 หมายถึงพอร์ท C ล้างเป็นเอาต์พุท ถ้าเป็น 1 หมายถึงพอร์ท C ล้างเป็นอินพุท

การทำงานในโหมดต่าง ๆ ของ 8255 สามารถศึกษาได้เพิ่มเติมจากหนังสือไมโครโปรเซสเซอร์ทั่วไป

ในโครงการนี้ เราต้องการใช้ 8255 เพื่อทำงานเป็นอินพุทพอร์ทและเอาต์พุทพอร์ท ดังนี้ พอร์ท A เป็นเอาต์พุท, พอร์ท B เป็นอินพุท, พอร์ท C เป็นเอาต์พุท และทุกพอร์ททำงานในโหมด 0 ฉะนั้นจะได้ Control Code คือ 10000010

- ตัวแปลงสัญญาณดิจิทัลเป็นสัญญาณอนาล็อก เลือกใช้ไอซีเบอร์ ADC0848 ที่เป็น CMOS 8 - Bit Converter ที่สามารถรับสัญญาณอินพุทอนาล็อกได้หลายแบบ ในโครงการนี้ ADC0848 จะถูกใช้ในโหมด Single - Ended โดยใช้ขาแหนด 1 รับสัญญาณอนาล็อกจากวงจรของโพเทนทิโอมิเตอร์

โครงสร้างของ ADC0848 เป็นไอซีที่สามารถต่อใช้งานร่วมกับไมโครโปรเซสเซอร์ได้ง่าย มีสัญญาณนาฬิกาภายในตัวเอง ไม่ต้องปรับ Zero Adjust รับสัญญาณอินพุทได้ตั้งแต่ 0 ถึง 5 โวลท์ ใช้เพาเวอร์ซัพพลาย 5 โวลท์ ตัวชิปมี 24 ขา

- ชิพที่ทำหน้าที่รับสัญญาณจากเอ็นโคดเดอร์ เลือกใช้ไอซีเบอร์ LM629 ซึ่งเป็นชิพที่ใช้ควบคุมการเคลื่อนที่ของ DC Motor และ DC Servomotor ตัวชิปมี 28 ขา

คุณสมบัติของ LM629 คือ

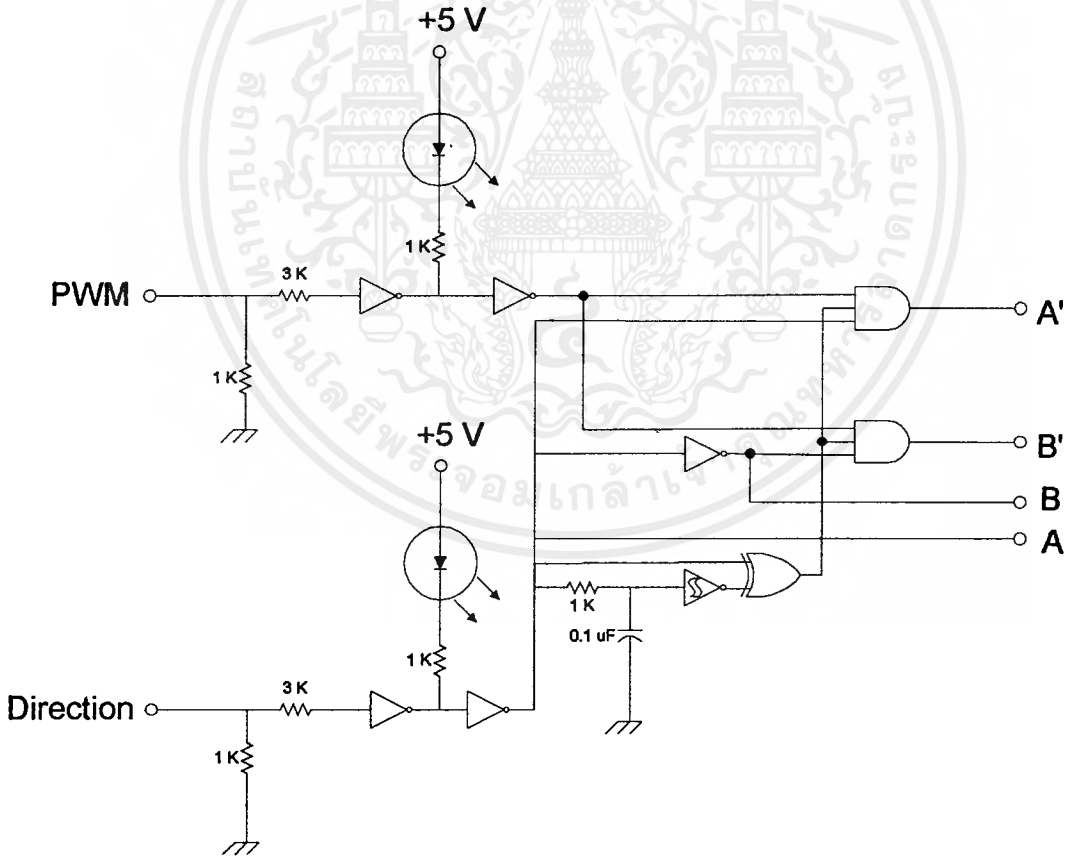
- > เป็นฟิลเตอร์ดิจิทัลแบบ PID สามารถเขียนโปรแกรมควบคุมการทำงานเป็นแบบ PID ได้เลย
- > เอาต์พุทเป็นสัญญาณ 8 Bit ที่มีทั้งขนาดและทิศทาง (8 - Bit Sign-Magnitude PWM)
- > มีรีจิสเตอร์ตำแหน่ง ความเร็วและความเร่งขนาด 32 Bit
- > สามารถกำหนดตำแหน่งได้
- > สามารถทำงานได้ทั้งแบบโหมดการควบคุมตำแหน่งและโหมดการควบคุมความเร็ว
- > สามารถเปลี่ยนแปลงความเร็วและทิศทางการเคลื่อนที่ได้ตลอดแม้ในขณะที่กำลังเคลื่อนที่อยู่
- > ไอซีมีการชดเชยแรงเสียดทานที่พื้นให้ด้วยเมื่อใช้มอเตอร์ในการขับเคลื่อนรถอินเวอร์ทเพนดูลัม
- > ใช้สัญญาณนาฬิกาจากภายนอก มีความถี่ได้สูงสุด 6 MHz
- > มีหน่วยรับสัญญาณป้อนกลับจากเอ็นโคดเดอร์

เอกสารนี้เป็นเอกสารที่สงวนไว้สำหรับการใช้งานเพื่อการศึกษาเท่านั้น ไม่อนุญาตให้นำไปใช้ประโยชน์ด้านการค้า ไม่ว่าจะกรณีใดๆ ทั้งสิ้น อีกทั้งห้ามมิให้ดัดแปลงเนื้อหาและต้องอ้างอิงถึงเจ้าของเอกสารทุกครั้งที่มีการนำไปใช้

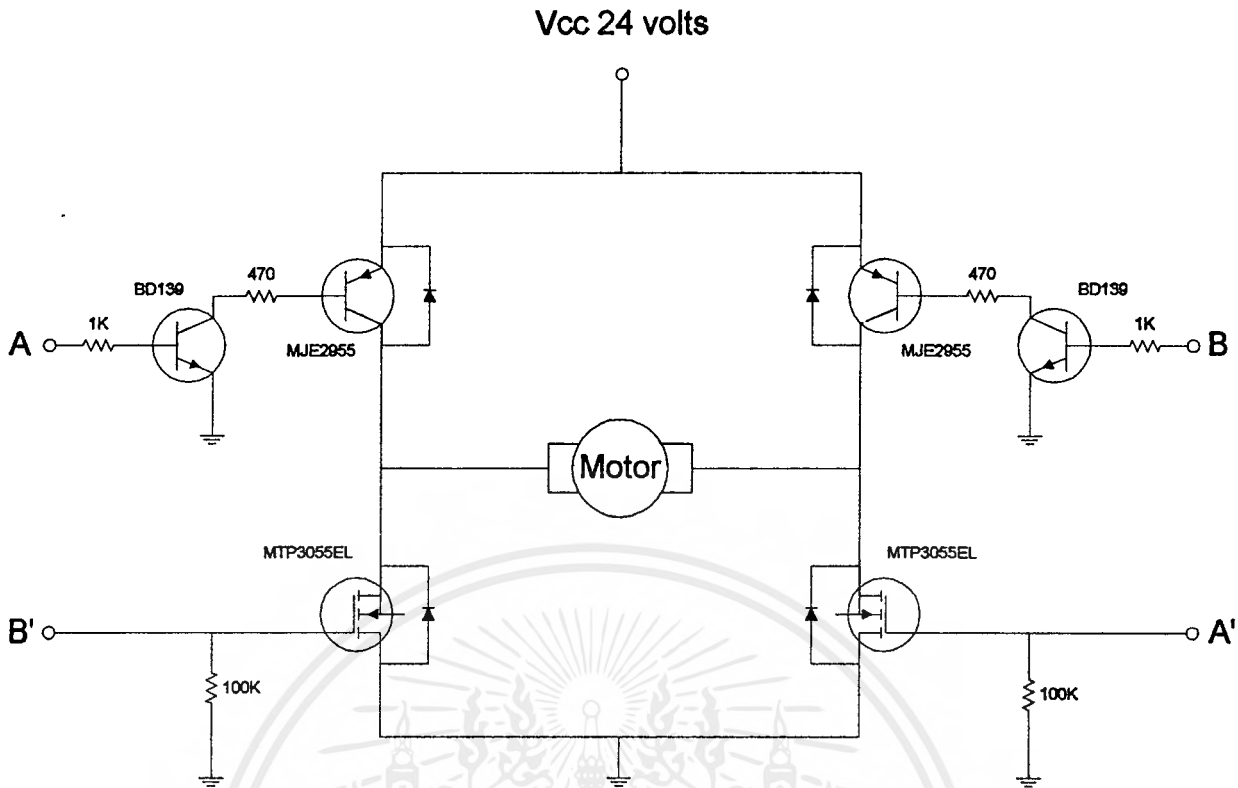
3.2 วงจรขับมอเตอร์

เป็นวงจรที่ควบคุมความเร็วและทิศทางการหมุนของมอเตอร์ ซึ่งเดิมการควบคุมการหมุนของมอเตอร์ เราใช้ไอซีเบอร์ LM18201 ซึ่งเป็น Full Bridge ที่ออกแบบมาเพื่อควบคุมการเคลื่อนที่ของ DC Motor และ Stepper Motor โดยตรง แต่ปัญหาที่พบขณะใช้ไอซีตัวนี้คือ เมื่อจ่ายโวลต์เตจสูง ๆ ให้กับไอซี และส่งสัญญาณสั่งให้มอเตอร์เคลื่อนตัวกลับทิศไปมา ทำให้เกิดกระแสกระชากขึ้นสูง แต่ไอซี LM18201 สามารถทนกระแสกระชากได้เพียง 3 แอมแปร์ ตัวไอซีจะทนต่อภาวะเช่นนี้ไม่ได้ ทำให้ไอซีร้อนและเสียในที่สุด จึงเปลี่ยนมาใช้วงจรขับมอเตอร์แบบที่ใช้ทรานซิสเตอร์ร่วมกับมอเตอร์แทน ซึ่งจะมีความทนทานมากกว่าและทำงานได้ดีกว่า

นอกจากนั้นวงจรขับมอเตอร์ยังต้องใช้ร่วมกับวงจรที่ช่วยเลือกว่าจะส่งค่า PWM และ Direction ไปในทิศทางใด และมีการต่อตัวต้านทานและบัฟเฟอร์เพื่อป้องกันการไหลย้อนกลับของกระแส ซึ่งอาจเป็นผลเสียต่อคอมพิวเตอร์และระบบได้



รูปที่ 3.7 วงจรป้องกันกระแสย้อนกลับและเลือกสัญญาณ



รูปที่ 3.8 วงจรขับมอเตอร์

3.3 วงจรของตัวตรวจจับ

ตัวตรวจจับ (Sensor) ที่ใช้ในรถอินเวอร์ทเพนดูลัมประกอบด้วย 2 ส่วนด้วยกัน คือ

1. ส่วนที่ใช้วัดการเปลี่ยนแปลงมุมของก้านอินเวอร์ทเพนดูลัม ว่าเบี่ยงเบนไปจากแนวตั้งจากไปเป็นมุมเท่าไร
2. ส่วนที่ใช้วัดความเร็วและทิศทางการเคลื่อนที่ของรถ

โดยในโครงงานนี้มีการทดสอบเซ็นเซอร์ 3 ชนิดด้วยกัน ผลที่สังเกตและทดสอบได้มีดังนี้

- Hall Effect เป็นเซ็นเซอร์ที่ทำงานโดยอาศัยการเปลี่ยนแปลงของสนามแม่เหล็ก เมื่อเส้นฟลักซ์ตัดผ่านระนาบผิวของ Hall IC จะทำให้เกิดสัญญาณไฟฟ้าที่มีค่าแปรผันตรงกับความหนาแน่นของเส้นฟลักซ์นี้ แต่ปัญหาที่พบคือ อุปกรณ์ที่ใช้ในวงจร Hall Effect จะหาได้ยาก เช่น Permanent Magnet และ Hall IC สำหรับการทดลองใช้ Hall Effect เพื่อทดสอบการแกว่งตัวของก้านเพนดูลัมในโครงงานนี้พบว่า ค่าที่วัดได้จากตัว Hall Effect เมื่อก้านเพนดูลัมแกว่งตัวไปทางซ้ายและทางขวาจะไม่สมมาตรกันและคาดว่าปัญหานี้น่าจะเกิดมาจาก ความไม่สมดุลของแม่เหล็กที่ใช้

เอกสารนี้เป็นเอกสารที่สงวนไว้สำหรับการใช้งานเพื่อการศึกษาเท่านั้น ไมอนุญาตให้นำไปใช้ประโยชน์ด้านการค้า ไม่ว่าจะกรณีใดๆ ทั้งสิ้น อีกทั้งห้ามมิให้ดัดแปลงเนื้อหาและต้องอ้างอิงถึงเจ้าของเอกสารทุกครั้งที่มีการนำไปใช้

- Encoder จัดเป็นเซ็นเซอร์ที่ดีที่สุด คือมีความเที่ยงตรงสูง และค่าที่ได้เป็นค่าที่ถูกต้อง โดยเฉพาะอย่างยิ่งเอนโคเดอร์ที่มีค่า Resolution สูง ๆ เช่น 4096 pulse/360° แต่เอนโคเดอร์ก็มีข้อเสียคือ เมื่อตอนเริ่มต้นกระบวนการต้องหาจุด Equilibrium Position ให้ได้
- Potentiometer เป็นเครื่องมือที่เปลี่ยนพลังงานกลให้อยู่ในรูปพลังงานไฟฟ้า โดยอินพุตที่ป้อนให้แก่โพเทนทิโอมิเตอร์จะอยู่ในรูปของการเคลื่อนที่แบบเชิงกล และอาจเป็นการเคลื่อนที่แบบหมุนรอบหรือเชิงเส้นก็ได้ เป็นเซ็นเซอร์ที่เหมาะสมกับการวัดของระบบที่เคลื่อนที่ 2 ทิศทาง เช่น ใน joystick แต่ปัญหาที่พบคือ ะหรับช่วงมุมเล็ก ๆ สัญญาณเอาต์พุตของโพเทนทิโอมิเตอร์จะมี noise รบกวนระบบมาก ทำให้ค่าที่วัดได้ไม่ถูกต้อง

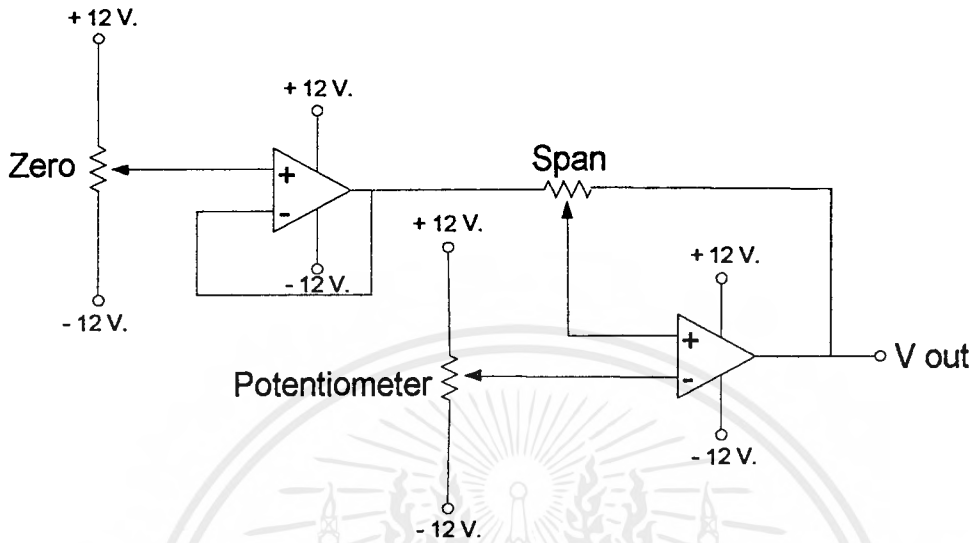
สำหรับในโครงการนี้เลือกใช้เซ็นเซอร์ 2 แบบ คือ

- ใช้เอนโคเดอร์สำหรับวัดทิศทางและความเร็วของรถ โดยต่อสายพานระหว่างแกนของเอนโคเดอร์และแกนของล้อรถโดยตรง แล้วใช้ไอซี LM629 เป็นตัวรับพัลส์ที่มีความถี่ต่าง ๆ กันและแปรค่าตรงกับความเร็วของเพลลาของล้อ ซึ่งสามารถนำไปใช้ในการรับรู้ความเร็วของเพลลาของมอเตอร์ในรูปของอัตราจำนวนพัลส์ได้ โดยเอนโคเดอร์ที่ใช้มีค่า Resolution 400 pulse/360° แล้วคอมพิวเตอร์จะทำการพล็อตกราฟการเคลื่อนที่ของรถทางหน้าจอ
- ใช้โพเทนทิโอมิเตอร์ เพื่อวัดมุมของก้านอินเวอร์ทเพนดูลัม โพเทนทิโอมิเตอร์จะทำงานคล้ายตัวต้านทานปรับค่าได้ที่มีแกนกลางหมุนได้ สำหรับโพเทนทิโอมิเตอร์ที่ใช้เป็นชนิดที่มีความต้านทาน 1 K ต่อการหมุนของแกน 1 รอบ

โพเทนทิโอมิเตอร์จะทำหน้าที่เปลี่ยนค่ามุมที่ได้มาเป็นสัญญาณโวลต์เตจ โดยการจ่ายค่าแรงดันคงที่ให้กับโพเทนทิโอมิเตอร์ ค่าแรงดันตกคร่อมที่ได้จะถูกนำมาเปรียบเทียบกับค่าแรงดันที่ได้จากค่าความต้านทานปรับค่าได้ ซึ่งใช้เป็นแรงดันอ้างอิง ผลที่ได้จะถูกปรับให้อยู่ในช่วงใช้งาน 0-5 โวลต์ โดยการปรับ Zero และ Span แล้วนำผลที่ได้ไปผ่านตัวแปลงสัญญาณอนาล็อกเป็นดิจิตอล (A/D Converter) บนการ์ดอินเตอร์เฟส แล้วส่งให้ซีพียูประมวลผลต่อไป

วงจรที่ใช้รับค่าโวลต์เตจจากโพเทนทิโอมิเตอร์ และปรับระดับแรงดันเอาต์พุทให้ตรงตาม

ต้องการคือ 0-5 โวลต์ ซึ่งเป็นระดับที่ A/D Converter สามารถรับได้ แสดงดังรูป



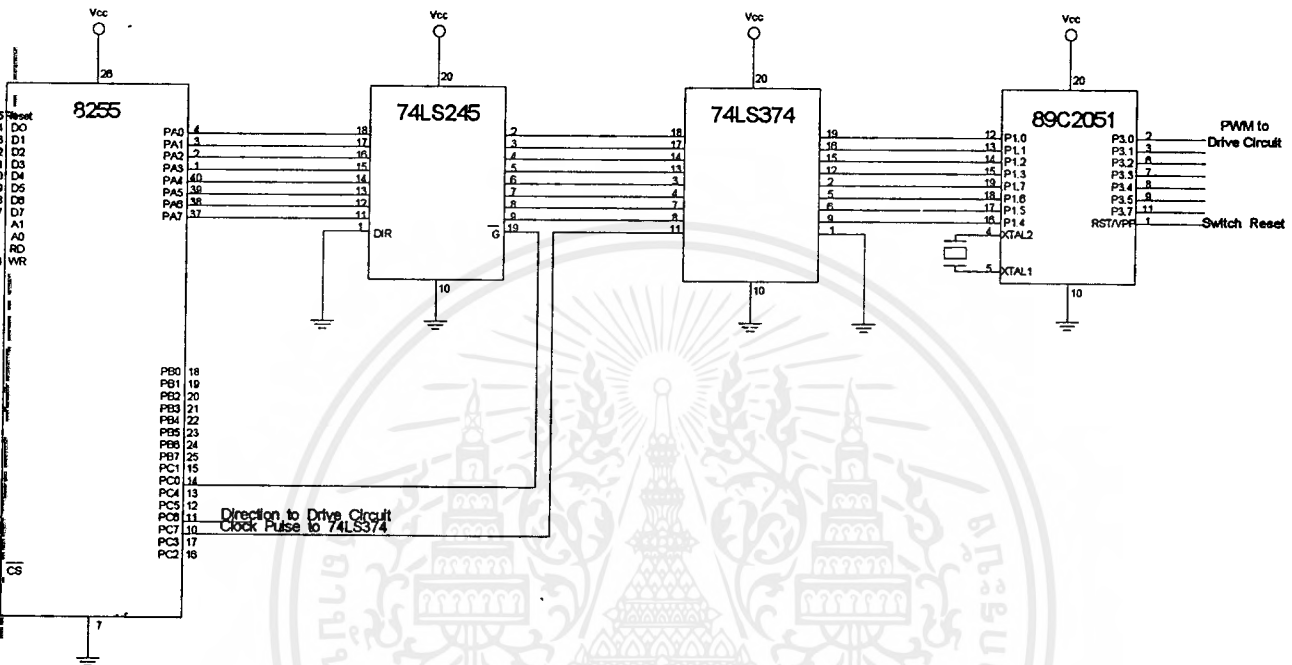
รูปที่ 3.9 วงจรรับและปรับค่าจากโพเทนทิโอมิเตอร์

3.4 วงจรกำเนิดพัลส์วิดท์

เป็นส่วนหนึ่งของวงจรมอดูเลชันพัลส์ที่เพิ่มเติมมาเพื่อใช้เป็นตัวกำเนิด Pulse Width Modulation (PWM) ให้แก่วงจรขับเคลื่อนมอเตอร์ ซึ่งแต่เดิมเราใช้ไอซีเบอร์ LM629 เป็นตัวควบคุมการเคลื่อนที่ของรถ โดยให้ LM629 เป็นตัวส่งทั้งค่า PWM และค่า Direction แต่ปัญหาที่พบคือ จากคุณสมบัติของ LM629 ที่จะพยายามรักษาตำแหน่งจริงให้เท่ากับตำแหน่งที่สร้างขึ้น ทำให้ไม่สามารถเปลี่ยนแปลงความเร็วแบบทันทีทันใดได้ จึงไม่เหมาะสมกับการควบคุมความเร็วมอเตอร์แบบที่ต้องการเปลี่ยนแปลงความเร็วอย่างรวดเร็ว เช่น ถ้าตั้งความเร็วไว้ที่ 3 เมตร/วินาที LM629 ก็จะสร้างกราฟการเคลื่อนที่ขึ้นมา เมื่อเวลาผ่านไป 1 วินาที และต้องการเปลี่ยนแปลงความเร็วเป็น -3 เมตร/วินาที ถ้าตำแหน่งจริงที่มอเตอร์ขับเคลื่อนได้ยังไม่ถึง 3 เมตร มอเตอร์จะไม่สามารถกลับทิศได้ทันที โดยจะวิ่งไปจนครบ 3 เมตรก่อนจึงจะเริ่มเปลี่ยนทิศทางการหมุนของมอเตอร์ได้ สรุปคือ การใช้ LM629 ในการควบคุมการเคลื่อนที่ของรถอินเวอร์ทเพนดูลัมไม่สามารถทำได้ เพราะรถไม่สามารถเปลี่ยนแปลงความเร็วได้ทันตามต้องการทั้งในการเคลื่อนที่ทิศทางเดียวกันและเคลื่อนที่ที่กลับทิศกัน ทำให้ไม่สามารถรักษาตำแหน่งของก้านอินเวอร์ทเพนดูลัมไว้ได้

เอกสารนี้เป็นเอกสารที่สงวนไว้สำหรับการใช้งานเพื่อการศึกษาเท่านั้น ไม่อนุญาตให้นำไปใช้ประโยชน์ด้านการค้าไม่ว่ากรณีใดๆ ทั้งสิ้น อีกทั้งห้ามมิให้คัดแปลงเนื้อหาและต้องอ้างอิงถึงเจ้าของเอกสารทุกครั้งที่มีการนำไปใช้

จากสาเหตุดังกล่าว จึงได้เปลี่ยนมาใช้ไมโครคอนโทรลเลอร์ 89C2051 เป็นตัวกำเนิด PWM และค่า Direction ถูกส่งจากคอมพิวเตอร์ผ่าน 8255 เข้าสู่วงจรรับมอดเตอร์โดยตรง วงจรกำเนิด PWM นี้จะรวมอยู่บนการ์ดอินเตอร์เฟส ประกอบด้วยตัว Latch ค่า คือ ไอซีเบอร์ 74LS374 และไมโครคอนโทรลเลอร์ 89C2051 การต่อไอซีทั้ง 2 ตัวแสดงได้ดังรูป



รูปที่ 3.10 วงจรกำเนิด PWM

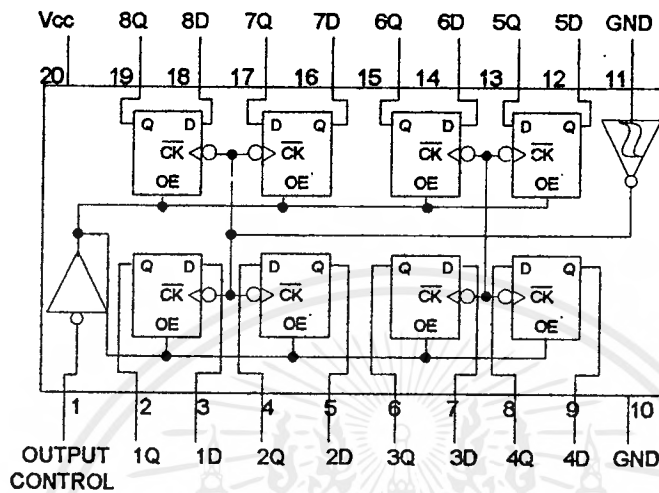
จากวงจรการติดต่อระหว่างคอมพิวเตอร์กับไมโครคอนโทรลเลอร์ 89C2051 จะทำผ่านไอซีที่ทำหน้าที่เป็นพอร์ทให้วงจรคือ 8255 โดยใช้ดาต้าบัสเดียวกันกับ ADC0848 และ LM629 มีไอซีเบอร์ 74LS374 ทำหน้าที่เป็นตัว Latch ค่าข้อมูลไว้ไม่ให้เปลี่ยนแปลงจนกว่าจะมีสัญญาณ Clock ขอบขาขึ้นที่สร้างจากโปรแกรมในคอมพิวเตอร์มาทริกให้มีการเปลี่ยนข้อมูล ตัวคอนโทรลเลอร์จะนำข้อมูลที่อ่านได้มาสร้างเป็นสัญญาณ PWM เพื่อส่งให้วงจรรับมอดเตอร์ สำหรับโปรแกรมสร้าง PWM นี้ได้มาจากภาคผนวก ง

- ไมโครคอนโทรลเลอร์ 89C2051 เป็น 8 Bit ไมโครคอมพิวเตอร์ที่มีหน่วยความจำขนาด 2 กิโลไบต์ชนิด EPROM (Erasable & Programmable Read Only Memory) โครงสร้างภายในประกอบด้วยพอร์ท 2 พอร์ท คือ พอร์ท 1 และพอร์ท 3 สำหรับวงจรมอนิเตอร์เฟสนี้ใช้พอร์ท 1 เป็นอินพุท และพอร์ท 3 เป็นเอาต์พุทส่งค่า PWM 89C2051 มีไทม์เมอร์ภายใน 1 ตัวคือ

เอกสารนี้เป็นเอกสารที่สงวนไว้สำหรับการใช้งานเพื่อการศึกษาเท่านั้น ไม่อนุญาตให้นำไปใช้ประโยชน์ด้านการค้าไม่ว่ากรณีใดๆ ทั้งสิ้น อีกทั้งห้ามมิให้ตัดแปลงเนื้อหาและต้องอ้างอิงถึงเจ้าของเอกสารทุกครั้งที่มีการนำไปใช้

ไทม์เมอร์ 0 ใช้เป็นตัวนับพัลส์เพื่อกำหนดความกว้างของ PWM โดย Clock ที่จ่ายให้กับ 89C2051 มีความถี่ 6 MHz

- ไอซีเบอร์ 74LS374 ที่ทำหน้าที่ Latch ค่าข้อมูลมีโครงสร้างภายในดังนี้



รูปที่ 3.11 ไอซีเบอร์ 74LS374

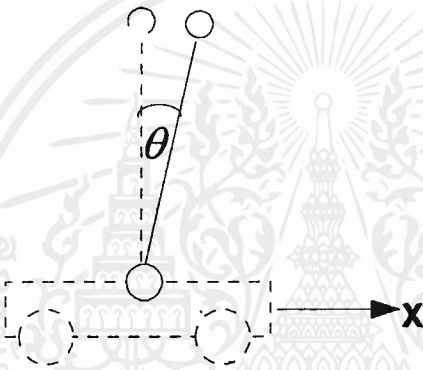
บทที่ 4

การวิเคราะห์ระบบ

4.1 Control Analysis

การพิจารณาระบบรถอินเวอร์ทเพนดูลัม แบ่งได้เป็น 2 ส่วนคือ

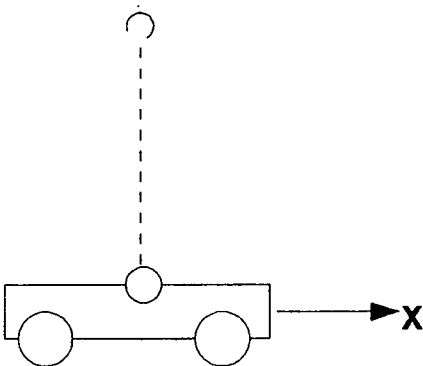
- ส่วนที่ 1 เป็นระบบที่มี อินพุต คือ ระยะจริงของรถ (X)
เอาต์พุต คือ มุมของก้านลูกตุ้ม (θ)



ซึ่งเป็นส่วนของระบบที่ไม่สามารถควบคุมได้

- ส่วนที่ 2 เป็นระบบที่มี อินพุต คือ ระยะทางเป้าหมาย (X_d)
เอาต์พุต คือ ระยะจริงของรถ (X)

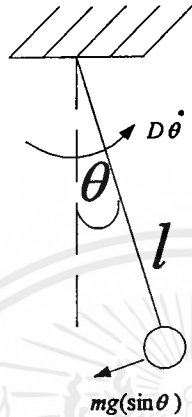
ซึ่งส่วนนี้เป็นส่วนที่สามารถควบคุมได้ โดยมีเป้าหมายที่จะควบคุมมุมของก้านเพนดูลัมใน ส่วนที่ 1 ต่อไป เราสามารถควบคุมการเคลื่อนที่ของรถได้ แต่ไม่สามารถควบคุมมุมของก้านเพนดูลัมได้โดยตรง จึงใช้การเคลื่อนที่ของรถนี้มาควบคุมมุมของก้านเพนดูลัมให้ตั้งตรงตลอดเวลา



เอกสารนี้เป็นเอกสารที่สงวนไว้สำหรับการใช้งานเพื่อการศึกษาเท่านั้น ไม่อนุญาตให้นำไปใช้ประโยชน์ด้านการค้า
ไม่ว่ากรณีใดๆ ทั้งสิ้น อีกทั้งห้ามมิให้ตัดแปลงเนื้อหาและต้องอ้างอิงถึงเจ้าของเอกสารทุกครั้งที่มีการนำไปใช้

4.2 การหาทรานส์เฟอ์ฟังก์ชันของระบบ

- ส่วนที่ 1 วิเคราะห์ก้านลูกตุ้มสำหรับกรณี Simple Pendulum เพื่อหาค่าพารามิเตอร์ของระบบ



รูปที่ 4.1 การแกว่งลูกตุ้มแบบ Simple Pendulum

เมื่อ $D\dot{\theta}$ คือ Damper เชิงมุม

$$\text{จาก } \sum F = ma$$

$$\text{จะได้ } mg(\sin \theta) + D\dot{\theta} = -ml\ddot{\theta}$$

เมื่อวิเคราะห์ที่มุม θ น้อย ๆ ($\sin \theta \approx \theta$)

$$ml\ddot{\theta} + D\dot{\theta} + mg\theta = 0$$

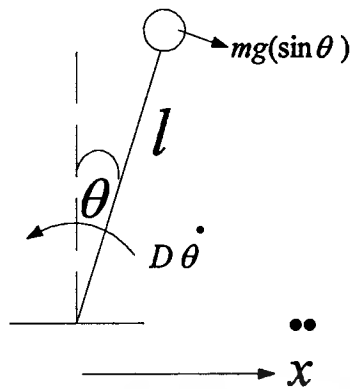
take Laplace ทั้งสมการได้ ($\dot{\theta}_0 = 0$)

$$ml[s^2\theta(s) - s\theta_0] + D[s\theta(s) - \theta_0] + mg\theta(s) = 0$$

$$(mls^2 + Ds + mg)\theta(s) = (mls + D)\theta_0$$

$$\theta(s) = \frac{(s + \frac{D}{ml})}{s^2 + (\frac{D}{ml})s + (\frac{g}{l})} \theta_0$$

วิเคราะห์กรณี Inverted Pendulum โดยให้จุดหมุนของก้านลูกตุ้มเคลื่อนที่ด้วย



รูปที่ 4.2 การแกว่งลูกตุ้มแบบ Inverted Pendulum เมื่อมีการเปลี่ยนแปลงระยะทาง

จาก $\sum F = ma$

$$(mg \sin \theta) - D\dot{\theta} = m(\ddot{x} + l\ddot{\theta})$$

เมื่อวิเคราะห์ที่มุม θ น้อย ๆ ($\sin \theta \approx \theta$) มุมเริ่มต้นและความเร็วเชิงมุมเริ่มต้นเป็น 0

จะได้

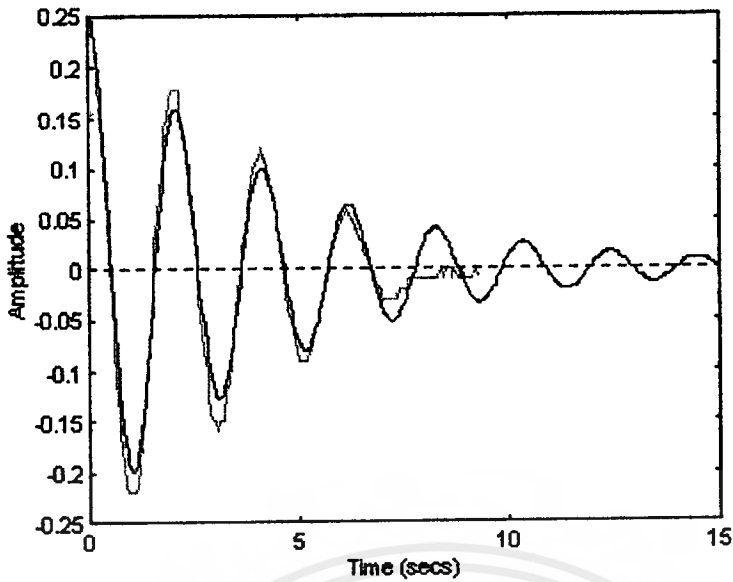
$$\frac{\theta(s)}{X(s)} = \frac{\frac{1}{l}s^2}{s^2 + \left(\frac{D}{ml}\right)s - \frac{g}{l}}$$

จะเห็นว่าสมการคุณลักษณะ (Characteristic Equation) ที่ได้จากระบบ Simple Pendulum และ ระบบ Inverted Pendulum มีค่าตัวแปรเหมือนกัน แต่ต่างกันที่เครื่องหมายเท่านั้น

- ส่วนที่ 2 เป็นส่วนที่ได้จากการทดลองหาความสัมพันธ์ระหว่าง ระยะจริงของรถ (X) กับอินพุตคือค่า PWM รายละเอียดจะได้เสนอในหัวข้อต่อไป

4.3 การประมาณค่าโมเดลของระบบจากผลตอบสนองที่ได้จากการทดลอง

- ส่วนที่ 1 จากการทดลองแกว่งลูกตุ้มให้เคลื่อนที่อย่างอิสระแบบ Simple Pendulum จะได้ผลของค่ามุมเมื่อเวลาเปลี่ยนไป แสดงได้ดังรูป



รูปที่ 4.3 เปรียบเทียบกราฟของการแกว่งลูกตุ้ม

จากรูปที่ 4.3 แสดงกราฟของการแกว่งลูกตุ้มแบบ Simple Pendulum เปรียบเทียบกับ

กราฟของสมการ $\frac{\theta}{\theta_0} = \frac{s+0.44}{s^2+0.44s+9.1688}$ ซึ่งเป็นสมการที่หามาจากกราฟการแกว่งลูกตุ้ม

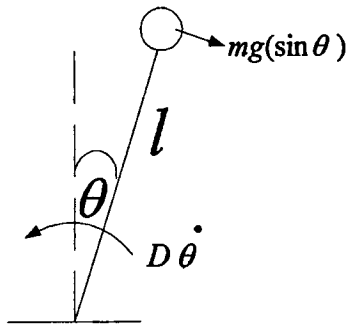
แบบ Simple Pendulum

เมื่อเปรียบเทียบกับสมการของระบบ Simple Pendulum $\frac{\theta(s)}{\theta_0(s)} = \frac{(s + \frac{D}{ml})}{s^2 + (\frac{D}{ml})s + \frac{g}{l}}$

กับสมการของระบบอินเวอร์ทเพนดูลัม $\frac{\theta(s)}{X(s)} = -\frac{\frac{1}{l}s^2}{s^2 + (\frac{D}{ml})s - \frac{g}{l}}$

จะได้สมการของก้านอินเวอร์ทเพนดูลัม คือ $\frac{\theta(s)}{X(s)} = \frac{0.9346s^2}{s^2 + 0.44s - 9.1688}$

ตรวจสอบสัมประสิทธิ์ของสมการที่ได้โดยการทดลองปล่อยให้ลูกตุ้มตก เมื่อตั้งลูกตุ้มไว้ที่จุดสูงสุดแบบอินเวอร์ทเพนดูลัม



รูปที่ 4.4 การปล่อยให้ลูกตุ้มตกแบบอินเวิร์ทเพนดูลัม

จาก $\sum F = ma$

$$(mg \sin \theta) - D\dot{\theta} = ml\ddot{\theta}$$

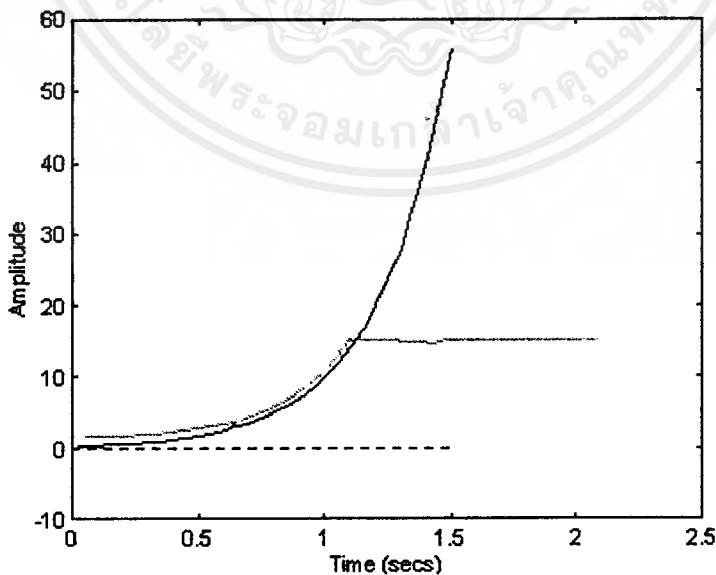
จะได้

$$\frac{\theta(s)}{\theta_0(s)} = \frac{(s + \frac{D}{ml})}{s^2 + (\frac{D}{ml})s - \frac{g}{l}}$$

\therefore

$$\frac{\theta}{\theta_0} = \frac{s + 0.44}{s^2 + 0.44s - 9.1688}$$

กราฟของการทดลองปล่อยให้ลูกตุ้มตกแบบอินเวิร์ทเพนดูลัม กับสมการข้างต้น แสดงได้ดังรูป

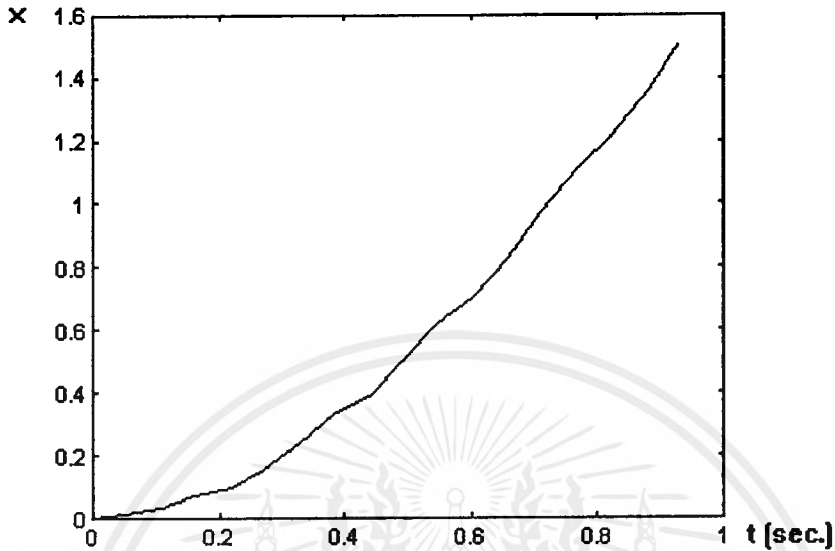


รูปที่ 4.5 กราฟของการปล่อยให้ลูกตุ้มตกแบบอินเวิร์ทเพนดูลัม

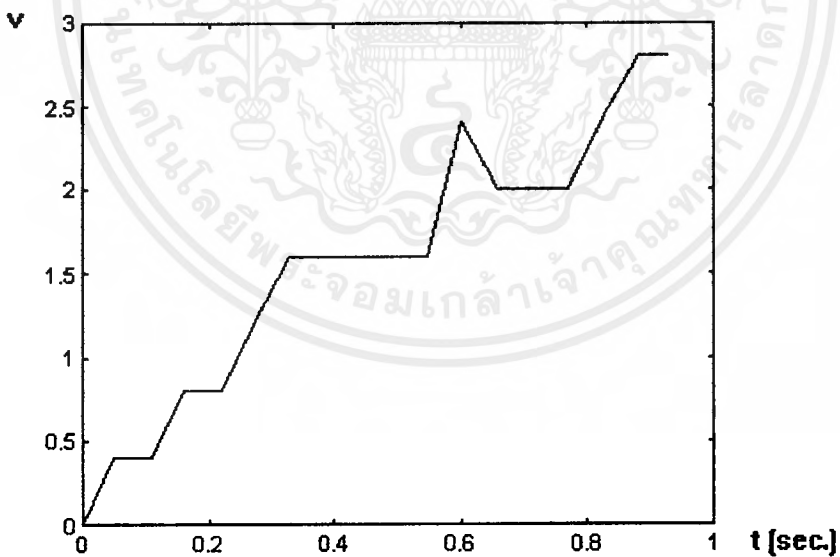
จากรูปจะเห็นได้ว่ากราฟที่ได้จากสมการมีความใกล้เคียงกับกราฟของการปล่อยให้ลูกตุ้ม

เอกสารนี้เป็นเอกสารที่สงวนไว้สำหรับการใช้งานเพื่อการศึกษาเท่านั้น ไม่อนุญาตให้นำไปใช้ประโยชน์ด้านการค้า
ไม่ว่ากรณีใดๆ ทั้งสิ้น อีกทั้งห้ามมิให้ตัดแปลงเนื้อหาและต้องอ้างอิงถึงเจ้าของเอกสารทุกครั้งที่มีการนำไปใช้

- ส่วนที่ 2 เมื่อให้รถวิ่งด้วยความเร็วสูงสุด คือจ่ายค่า PWM เท่ากับ 255 ได้กราฟการเคลื่อนที่ของรถ คือ กราฟระยะทาง และกราฟความเร็ว ดังรูป



รูปที่ 4.6 กราฟระยะทางการเคลื่อนที่ของรถเมื่อ PWM=255



รูปที่ 4.7 กราฟความเร็วของรถเมื่อ PWM=255

จากกราฟของความเร็วสามารถประมาณกราฟเป็นแบบ First Order ได้

$$V(s) = \frac{K}{s + \alpha} \bullet PWM$$

เอกสารนี้เป็นเอกสารที่สงวนไว้สำหรับการใช้งานเพื่อการศึกษาเท่านั้น ไม่อนุญาตให้นำไปใช้ประโยชน์ด้านการค้าไม่ว่ากรณีใดๆ ทั้งสิ้น อีกทั้งห้ามมิให้ตัดแปลงเนื้อหาและต้องอ้างอิงถึงเจ้าของเอกสารทุกครั้งที่มีการนำไปใช้

จากความสัมพันธ์ของระยะทางและความเร็ว คือ $v = \dot{x}$

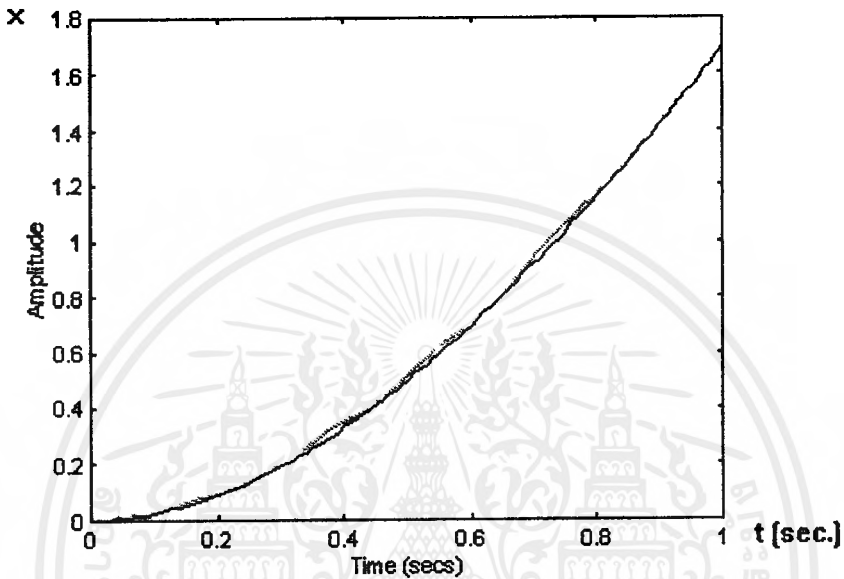
ได้

$$X(s) = \frac{V(s)}{s}$$

$$X(s) = \frac{K}{s(s + \alpha)} \bullet PWM \quad \text{ซึ่งเป็นระบบ Second Order}$$

จึงทำการประมาณกราฟของระยะทางข้างต้น ด้วยการแทนค่า $K = 4.8 / 255$ และ $\alpha =$

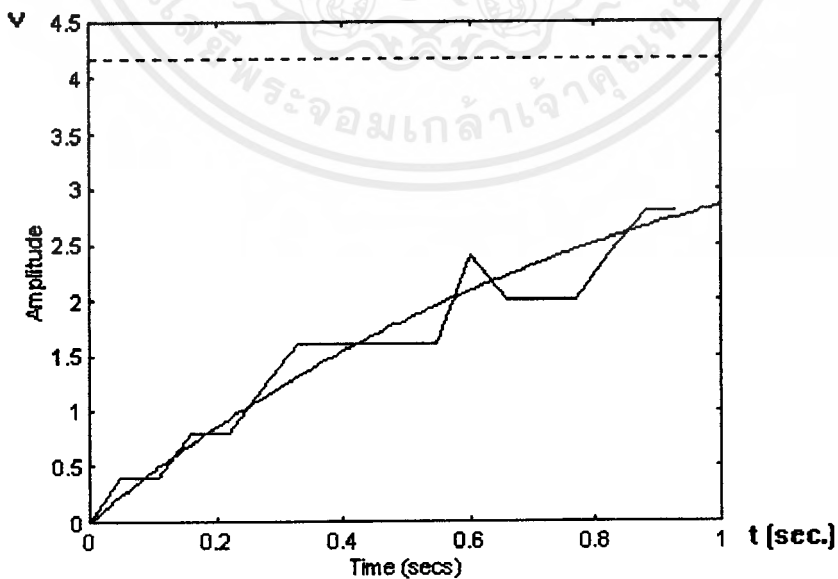
1.15 ลงในสมการจะได้กราฟของระยะทาง ดังรูป



รูปที่ 4.8 กราฟระยะทางจากการแทนค่าตัวแปร

และทำการประมาณกราฟของความเร็วข้างต้น ด้วยการแทนค่า $K = 4.8 / 255$ และ $\alpha =$

1.15 ลงในสมการจะได้กราฟของความเร็ว ดังรูป



รูปที่ 4.9 กราฟความเร็วจากการแทนค่าตัวแปร

เมื่อแทนค่าตัวแปรดังกล่าว จะได้

$$\ddot{x} = \frac{4.8}{255} PWM - 1.5\dot{x}$$

จากสมการของก้านอินเวอร์ทเพนดูลัม

$$\frac{\theta(s)}{X(s)} = -\frac{0.9346s^2}{s^2 + 0.44s - 9.1688}$$

จะได้

$$\ddot{\theta} + 0.44\dot{\theta} - 9.1688\theta = -0.9346\ddot{x}$$

$$= -0.9346 \left(\frac{4.8}{255} PWM - 1.5\dot{x} \right)$$

เขียนให้อยู่ในรูปเมตริกซ์ ได้ State Equation คือ

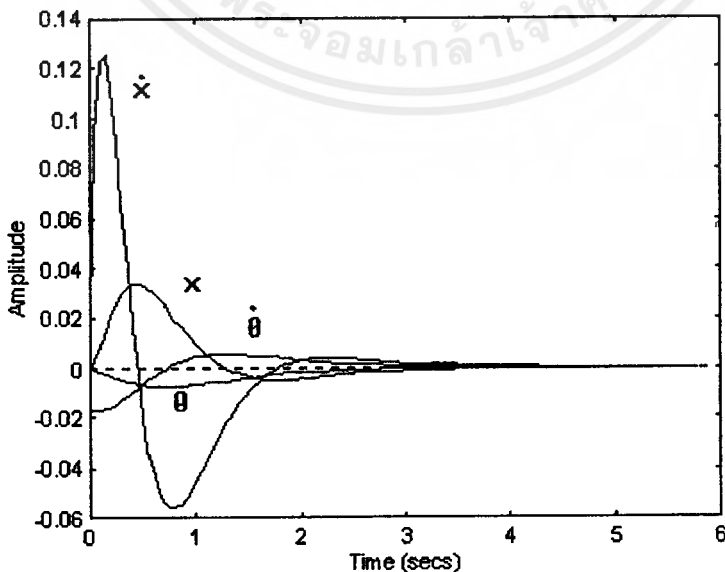
$$\begin{bmatrix} \dot{\theta} \\ \ddot{\theta} \\ \dot{x} \\ \ddot{x} \end{bmatrix} = \begin{bmatrix} 0 & 1 & 0 & 0 \\ 9.1688 & -0.44 & 0 & 1.0748 \\ 0 & 0 & 0 & 1 \\ 0 & 0 & 0 & -1.15 \end{bmatrix} \begin{bmatrix} \theta \\ \dot{\theta} \\ x \\ \dot{x} \end{bmatrix} + \begin{bmatrix} 0 \\ -0.0176 \\ 0 \\ 0.0188 \end{bmatrix} PWM$$

นำค่าในเมตริกซ์ไปแทนในโปรแกรมหาค่าพารามิเตอร์ของระบบ ในภาคผนวก จ. โดยกำหนดโพลวงปิดเป้าหมายไว้ที่ $s = -4, -4, -2.5, -2.5$ จะได้ค่า Feedback Gain (K) 4 ค่า คือ $K = -4526.1, -1509.3, -579.4, -781$

จาก $U = -KX$

$$PWM = -[-4526.1 \quad -1509.3 \quad -579.4 \quad -781] \begin{bmatrix} \theta \\ \dot{\theta} \\ x \\ \dot{x} \end{bmatrix}$$

นำค่า PWM ไปแทนใน State Equation แล้วพล็อตกราฟผลตอบสนองของระบบได้ดังรูป

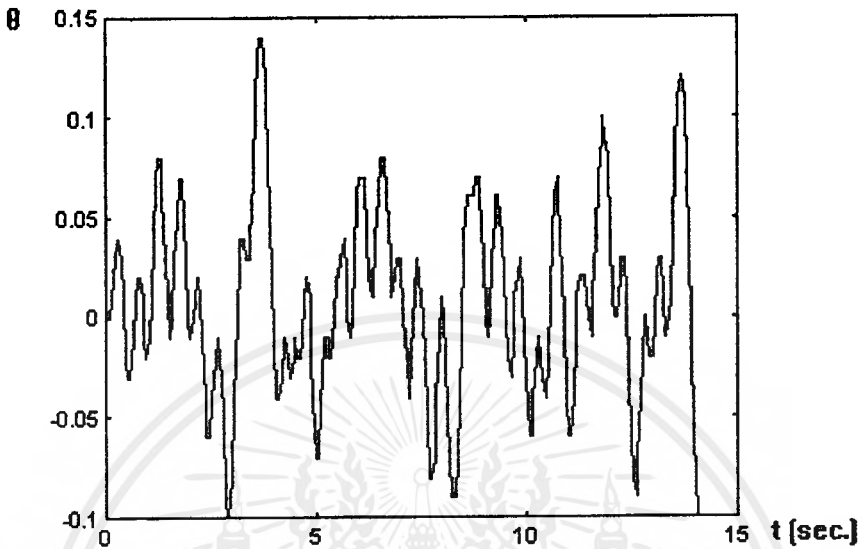


รูปที่ 4.10 กราฟผลตอบสนองของระบบ

เอกสารนี้เป็นเอกสารที่สงวนไว้สำหรับการใช้งานเพื่อการศึกษาเท่านั้น ไม่อนุญาตให้นำไปใช้ประโยชน์ด้านการค้า ไม่ว่ากรณีใดๆ ทั้งสิ้น อีกทั้งห้ามมิให้ตัดแปลงเนื้อหาและต้องอ้างอิงถึงเจ้าของเอกสารทุกครั้งที่มีการนำไปใช้

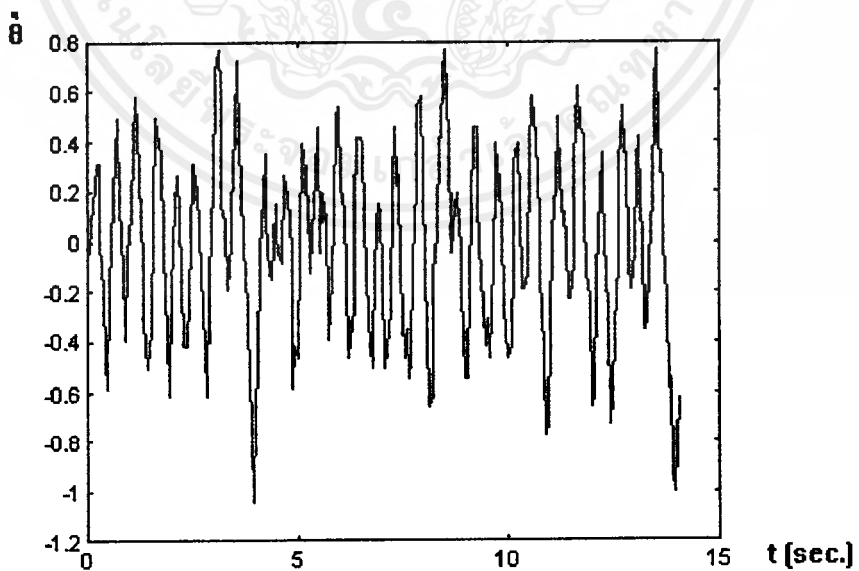
นำค่า K ที่ได้ไปใส่โปรแกรมควบคุมการเคลื่อนที่ของรถ ตามภาคผนวก ค. แล้วทดลองนำรถมาวิ่งจริง ได้ผลการทดลองดังนี้

1. ค่ามุมของก้านเพนดูลัม (θ) เมื่อรถวิ่ง



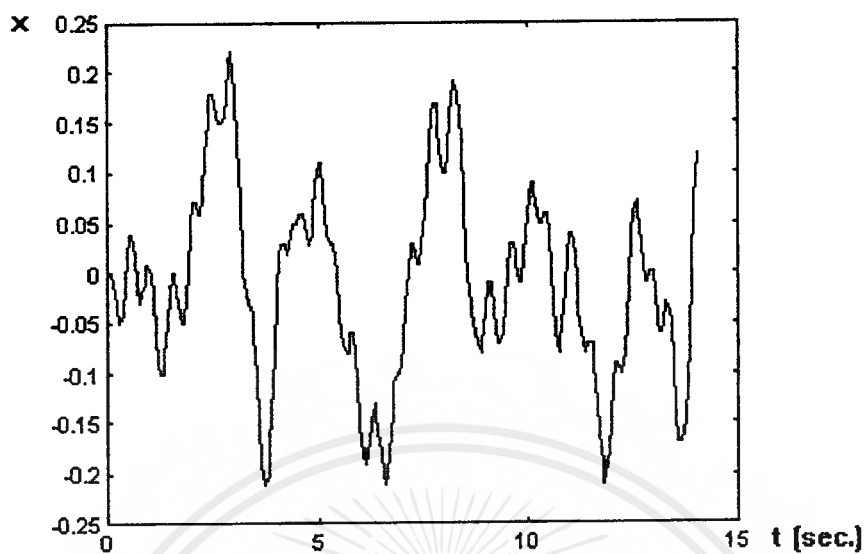
รูปที่ 4.11 ค่ามุมของก้านเพนดูลัมเมื่อรถวิ่ง

2. ค่าความเร็วเชิงมุมของก้านเพนดูลัม ($\dot{\theta}$) เมื่อรถวิ่ง



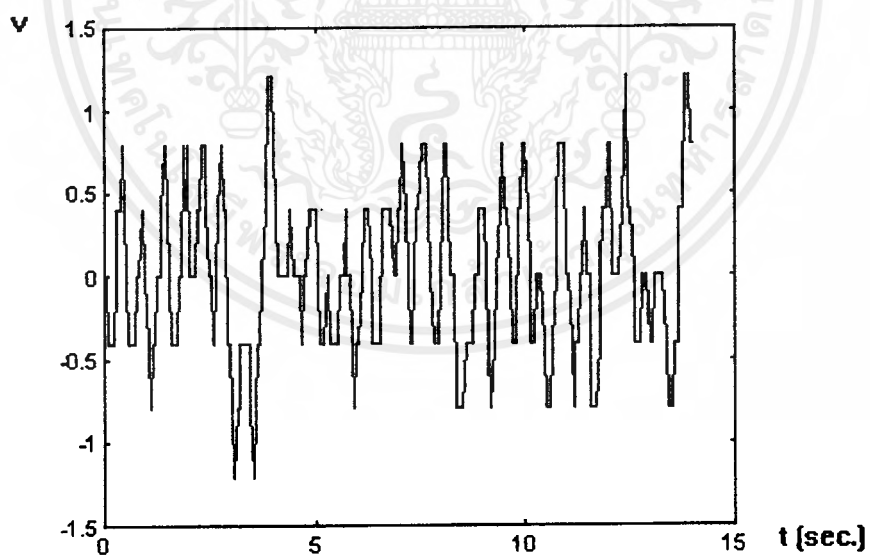
รูปที่ 4.12 ค่าความเร็วเชิงมุมของก้านเพนดูลัมเมื่อรถวิ่ง

3. ค่าตำแหน่งของรถ (x)



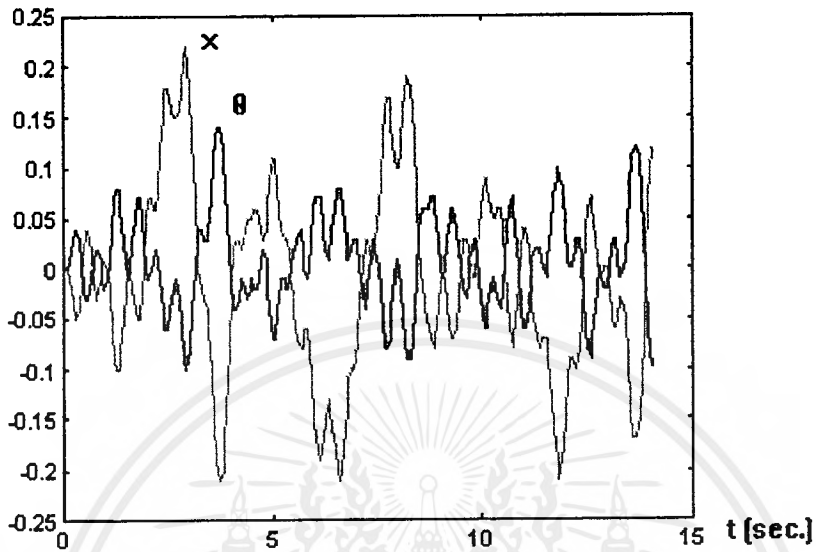
รูปที่ 4.13 ค่าตำแหน่งของรถ

4. ค่าความเร็วของรถ (v)



รูปที่ 4.14 ค่าความเร็วของรถ

5. แสดงเอาต์พุตของระบบ คือ ค่ามุมของก้านเพนดูลัม และตำแหน่งของรถ เมื่อเวลาเปลี่ยนไป



รูปที่ 4.15 เอาต์พุตของระบบ

บทที่ 5

สรุปผลและวิจารณ์

- เป้าหมายที่ตั้งไว้และสิ่งที่ดำเนินการได้

ตั้งเป้าหมายไว้ที่สามารถจะควบคุมทั้งตำแหน่งรถ และตำแหน่งของก้านลูกตุ้ม สิ่งที่สามารถทำได้คือ สามารถควบคุมก้านลูกตุ้มให้อยู่ในตำแหน่งสมดุลได้ แต่ ตำแหน่งรถยังเกิดการแกว่งในตำแหน่งเป้าหมายที่ตั้งไว้ ในขอบเขตค่าหนึ่งซึ่งสามารถยอมรับได้

- ปัญหาและการแก้ไข

- ปัญหาทาง Hardware

- Potentiometer ยังมีค่าสัมประสิทธิ์ความผิดพลาดสูง จึงส่งผลให้เกิดความไม่เป็นเชิงเส้นมากยิ่งขึ้นซึ่งผิดไปจากการประมาณให้เป็นเชิงเส้นที่กำหนดไว้ขั้นต้น
- การ slip ระหว่างล้อกับพื้น และ ระหว่างล้อกับล้อต้นกำลัง จึงทำให้การชดเชยระบบของตัว Controller เป็นไปได้ช้า ทำให้เกิด Dead Band ขึ้นมา
- Motor เป็น Motor ที่ไม่สมบูรณ์ คือเมื่อ apply voltage เข้าไปแล้วการหมุนทวนเข็มนาฬิกาและตามเข็มนาฬิกาไม่เท่ากัน จึงจำเป็นต้องชดเชย scale ของทั้งสองด้านให้เท่ากัน

- ปัญหาของตัว Controller

- เดิมที่เราต้องการนำตัว Controller LM629 มาเป็นตัว Controller ในการควบคุมตำแหน่งขั้นต้น แต่เนื่องจากข้อจำกัดในการติดต่อกับตัว Controller หลัก (CPU) จึงทำให้ต้องตัดส่วน close loop ของตำแหน่งขั้นต้นตรงนี้ออกไป

- ปัญหาของตัว Software

- sampling period ของตัว Controller เท่ากับ 18.2 Hz. ซึ่งช้ามากเพราะว่าการใช้สัญญาณ Interrupt จากภายนอกยังไม่สมบูรณ์ CPU ยังไม่บริหารทุกสัญญาณ จึงทำให้ต้องใช้สัญญาณ Interrupt จาก Timer control ภายในแทน

- ปัญหาของวงจร Driver

- วงจร Drive มี Output Impedance ที่มีค่าไม่ต่ำเพียงพอ ทำให้เมื่อวงจร Drive มีการจ่ายกระแสขนาดสูง ๆ จะทำให้ voltage drop เกิดความไม่เป็นเชิงเส้นของวงจร

- วงจรจะเผชิญปัญหาการกลับขั้ว Motor อยู่ตลอดเวลาและมีความถี่สูง โดยคุณสมบัตินี้ของ Motor แล้ว เมื่อมีการกลับขั้วจะมีกระแสกระชากขนาดมาก และเมื่ออุปกรณ์ทำการ switching จะมี lost เกิดขึ้น ในช่วง on - off เมื่อรวมทั้งสองเหตุการณ์เข้าด้วยกัน จะทำให้เกิด lost มีค่ามากขึ้นเป็นทวีคูณ ส่งผลให้วงจร Driver ร้อนและพังได้

- การพัฒนาในอนาคต

1. เพิ่ม sampling time ของระบบให้มากขึ้นจนเข้าใกล้ระบบ continuous
2. โดยลักษณะของวงจรมีลักษณะที่ Open คือสามารถขยายโดยเพิ่มก้านลูกตุ้มเข้าไปอีก
3. เปลี่ยนโพเทนทิโอมิเตอร์ที่ใช้อยู่ให้มีความผิดน้อยลง เพื่อการควบคุมระบบให้มีเสถียรภาพมากขึ้น
4. จัดทำตัวรถให้ไม่มีการสลิปของล้อและใช้มอเตอร์ที่มีคุณภาพสูงกว่าตัวที่ใช้อยู่

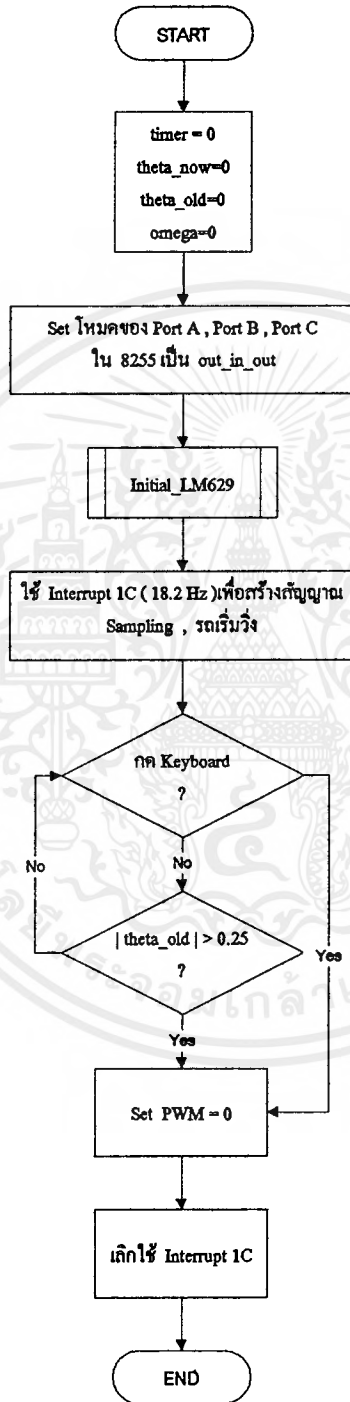




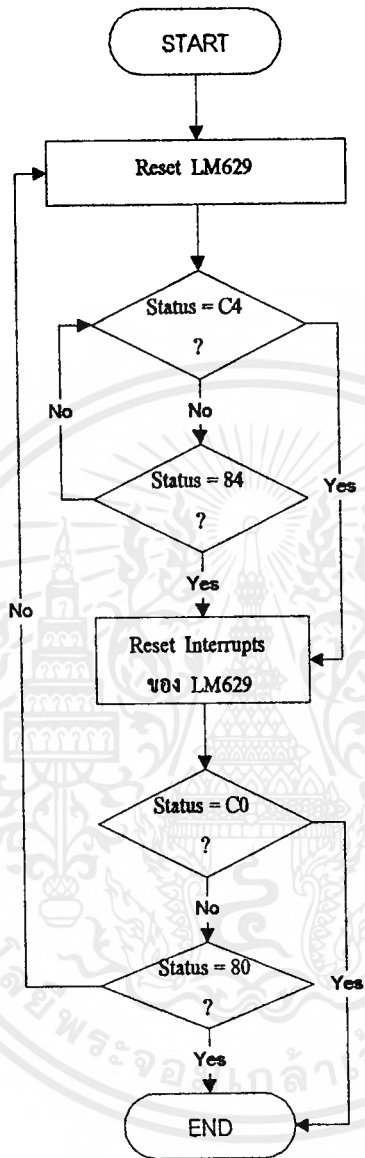
เอกสารนี้เป็นเอกสารที่สงวนไว้สำหรับการใช้งานเพื่อการศึกษาเท่านั้น ไม่อนุญาตให้นำไปใช้ประโยชน์ด้านการค้า
ไม่ว่ากรณีใดๆ ทั้งสิ้น อีกทั้งห้ามมิให้ดัดแปลงเนื้อหาและต้องอ้างอิงถึงเจ้าของเอกสารทุกครั้งที่มีการนำไปใช้

ภาคผนวก ก

Flow Chart โปรแกรมควบคุมการเคลื่อนที่ของรถ



รูปที่ ก-1 Main Program

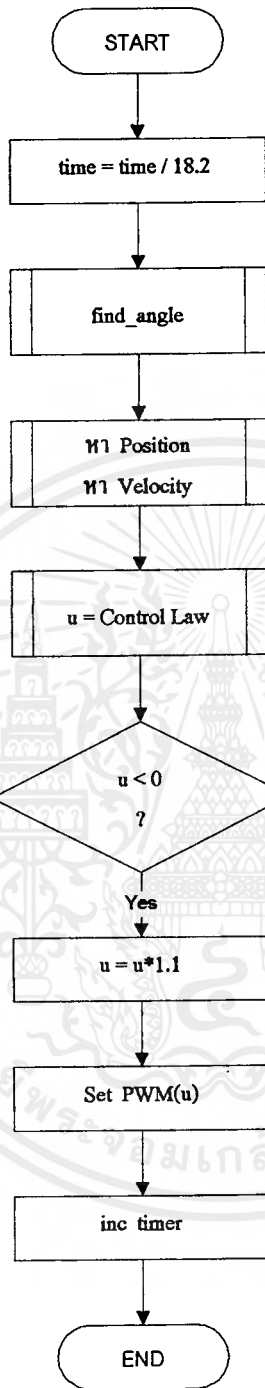


**หมายเหตุ Status : BIT 7 = Motor off

- 6 = Breakpoint Reached (Interrupt)
- 5 = Excessive Position Error (Interrupt)
- 4 = Wrap-around Occurred (Interrupt)
- 3 = Index Pulse Observed (Interrupt)
- 2 = Trajectory Complete (Interrupt)
- 1 = Command Error (Interrupt)
- 0 = Busy-bit

รูปที่ ก-2 Initial_LM629

เอกสารนี้เป็นเอกสารที่สงวนไว้สำหรับการใช้งานเพื่อการศึกษาเท่านั้น ไม่อนุญาตให้นำไปใช้ประโยชน์ด้านการค้าไม่ว่ากรณีใดๆ ทั้งสิ้น อีกทั้งห้ามมิให้ตัดแปลงเนื้อหาและต้องอ้างอิงถึงเจ้าของเอกสารทุกครั้งที่มีการนำไปใช้

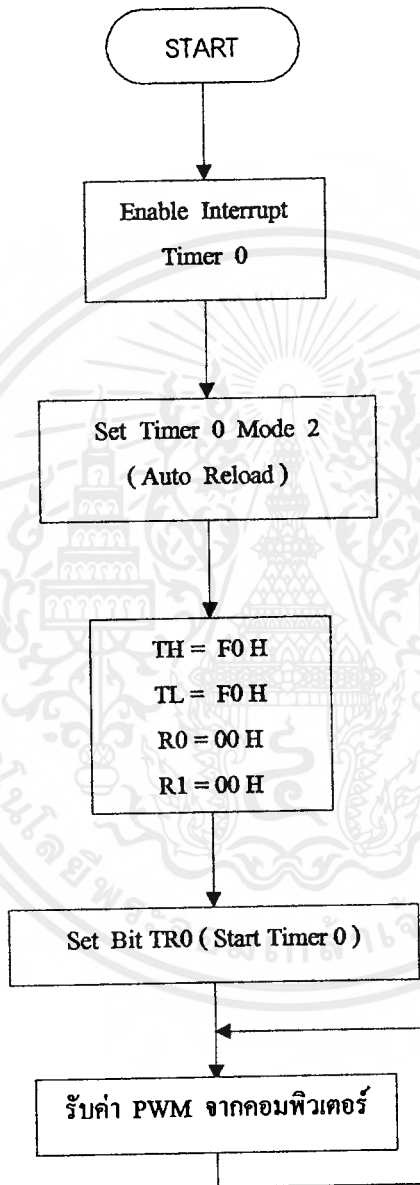


รูปที่ ๓-3 Interrupt Service Routine

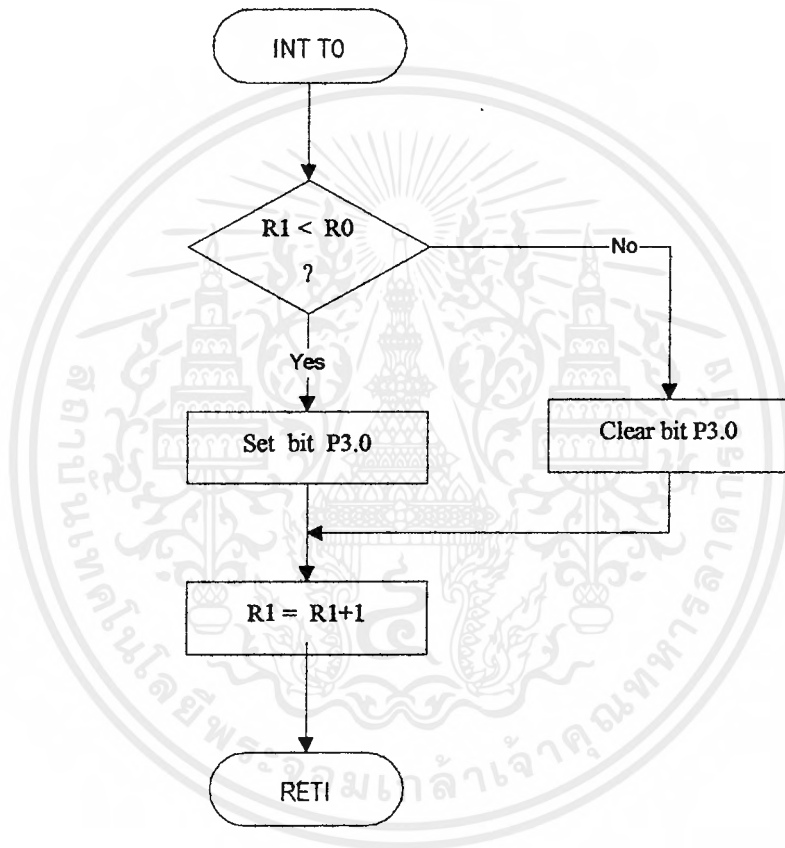


รูปที่ ก-4 Find_angle

ภาคผนวก ข
Flow Chart โปรแกรมกำเนิด PWM



รูปที่ ข-1 Main Program สร้าง PWM



รูปที่ ข-2 Interrupt Timer 0 Service Routine

ภาคผนวก ค

โปรแกรมควบคุมการเคลื่อนที่ของรถ

โปรแกรมการควบคุมการเคลื่อนที่ของรถสำหรับโครงงานนี้ใช้ภาษาปาสคาลในการเขียน

โปรแกรม รายละเอียดของโปรแกรมแสดงได้ดังนี้

```
PROGRAM Inverted_Pendulum_Cart;
uses crt , dos , lm629_and_89C2051 , adc0848;

const
  k1    = 4526.1;
  k2    = 1509.3;
  k3    = 579.4;
  k4    = 781;

var  timer    : longint;
     time , theta_old , theta_now , omega , position , velocity , zero , u : real;
     pwm      : integer;
     s        : string;
     f        : text;
     IntNo    : byte;
     Regs     : Registers;
     IntSave  : pointer;
     Chr      : char;

procedure find_angle;
begin
  low ( CS );
  theta_now := -(read_ADC(1)*30.96/255)*3.14/180+zero;
  high ( CS );
  omega := ( theta_now-theta_old )*18.2;
  theta_old := theta_now;
end;

function control_law ( x1 , x2 , x3 , x4 : real ) : real;
begin
```

เอกสารนี้เป็นเอกสารที่สงวนไว้สำหรับการใช้งานเพื่อการศึกษาเท่านั้น ไม่อนุญาตให้นำไปใช้ประโยชน์ด้านการค้า
ไม่ว่ากรณีใดๆ ทั้งสิ้น อีกทั้งห้ามมิให้ดัดแปลงเนื้อหาและต้องอ้างอิงถึงเจ้าของเอกสารทุกครั้งที่มีการนำไปใช้

```
control_law := k1*x1+k2*x2+k3*x3+k4*x4;
```

```
end;
```

```
procedure IRQ1c_handler ( regs : Registers ); interrupt;
```

```
begin
```

```
time := timer/18.2;
```

```
find_angle;
```

```
position := real_position;
```

```
velocity := real_velocity;
```

```
str ( time : 10 : 2 , s );      write ( f , s );
```

```
str ( theta_now : 0 : 2 , s );  write ( f , s );
```

```
str ( omega : 10 : 2 , s );    write ( f , s );
```

```
str ( position : 10 : 2 , s );  write ( f , s );
```

```
str ( velocity : 10 : 2 , s );  writeln ( f , s , ' ' );
```

```
u := control_law ( theta_now , omega , position , velocity );
```

```
if u < 0 then u := 1.1*u;
```

```
pwm := round ( u );
```

```
set_pwm ( pwm );
```

```
gotoxy ( 1 , 1 );
```

```
writeln ( ' ');
```

```
writeln ( ' ');
```

```
writeln ( ' ');
```

```
writeln ( ' ');
```

```
writeln ( ' ');
```

```
gotoxy ( 1 , 1 );
```

```
writeln ( ' pwm      = ' , pwm );
```

```
writeln ( ' control_law = ' , u : 5 : 3 );
```

```
writeln ( ' theta      = ' , theta_now : 5 : 3 );
```

```
writeln ( ' omega       = ' , omega : 5 : 3 );
```

```
writeln ( ' x          = ' , position : 5 : 3 );
```

```
writeln ( ' v          = ' , velocity : 5 : 3 );
```

```
inc ( timer );
```

```
end;
```

```

begin {main}
    assign ( f , ' c:\matlab\cart.m ');
    rewrite ( f );
    writeln ( f , ' m = [ ' );
    clrscr;
    timer      := 0;
    theta_now := 0;
    theta_old  := 0;
    omega     := 0;
    u         := 0;
    IntNo     := $1c;
    Port [ write_control_words ] := out_in_out;
    Port [ port_c ] := $ff;
    zero := (read_ADC(1)*30.96/255)*3.14/180
    GetIntVec ( IntNo , IntSave );
    Initial_LM629;
    SetIntVec ( IntNo , addr ( IRQ1c_handler ) );
    Repeat until keypressed or ( abs ( theta_old ) > 0.25 );
    set_PWM ( 0 );
    SetIntVec ( IntNo , IntSave );
    Writeln ( f , ' ] ; ' );
    Writeln ( f , ' c1 = [ 1; 0; 0; 0; 0; 0 ] ; ' );
    Writeln ( f , ' c2 = [ 0; 1; 0; 0; 0; 0 ] ; ' );
    Writeln ( f , ' c3 = [ 0; 0; 1; 0; 0; 0 ] ; ' );
    Writeln ( f , ' c4 = [ 0; 0; 0; 1; 0; 0 ] ; ' );
    Writeln ( f , ' c5 = [ 0; 0; 0; 0; 1; 0 ] ; ' );
    Writeln ( f , ' time = m*c1 ; ' );
    Writeln ( f , ' theta = m*c2 ; ' );
    Writeln ( f , ' omega = m*c3 ; ' );
    Writeln ( f , ' x = m*c4 ; ' );
    Writeln ( f , ' v = m*c5 ; ' );
    Close ( f );

```

'END.

เอกสารนี้เป็นเอกสารที่สงวนไว้สำหรับการใช้งานเพื่อการศึกษาเท่านั้น ไม่อนุญาตให้นำไปใช้ประโยชน์ด้านการค้า
ไม่ว่ากรณีใดๆ ทั้งสิ้น อีกทั้งห้ามมิให้ตัดแปลงเนื้อหาและต้องอ้างอิงถึงเจ้าของเอกสารทุกครั้งที่มีการนำไปใช้

ส่วนของ UNIT ซึ่งเป็นส่วนที่โปรแกรมหลักเรียกใช้

UNIT ที่ใช้ติดต่อกับ ADC0848 มีรายละเอียดดังนี้

```
UNIT ADC0848;
```

```
INTERFACE
```

```
uses crt, dos;
```

```
const
```

```
  {address to select port of 8255 phototypeboard.}
```

```
  port_a = $300;
```

```
  port_b = $301;
```

```
  port_c = $302;
```

```
  write_control_words = $303;
```

```
  {control words to select port}
```

```
  {xxAxxBxxC}
```

```
  out_out_out = $80;
```

```
  out_in_out = $82;  {use in this photocard}
```

```
  in_out_out = $90;
```

```
  in_in_out = $92;
```

```
var channel : integer;
```

```
FUNCTION read_ADC ( channel : integer ) : integer;
```

```
PROCEDURE init_8255;
```

```
IMPLEMENTATION
```

```
  PROCEDURE Low ( command : integer );
```

```
  BEGIN
```

```
    Port [ port_c ] := port [ port_c ] and not command;
```

```
  END;
```

เอกสารนี้เป็นเอกสารที่สงวนไว้สำหรับการใช้งานเพื่อการศึกษาเท่านั้น ไม่อนุญาตให้นำไปใช้ประโยชน์ด้านการค้า
ไม่ว่ากรณีใดๆ ทั้งสิ้น อีกทั้งห้ามมิให้ดัดแปลงเนื้อหาและต้องอ้างอิงถึงเจ้าของเอกสารทุกครั้งที่มีการนำไปใช้

```

PROCEDURE High ( command : integer );
BEGIN
Port [ port_c ] := port [ port_c ] or command;
END;

```

```

function read_ADC ( channel : integer ) : integer;
const _wr = $dc;      {write active + latch active}
      _rd = $ed;      {read active + latch not active}
      _clr = $ff;     {non active}

```

```

begin
channel := channel+7;
port [ port_a ] := channel;
low ( $23 );      {port [ port_c ] := _wr;}
high ( $23 );     {port [ port_c ]:= _clr;}
delay ( 1 );
low ( $12 );      {port [ port_c ]:= _rd;}
read_ADC := port [ port_b ];
high ( $12 );     {port [ port_c ] := _clr;}
end;

```

```

procedure init_8255;
begin
port [ write_control_words ] := out_in_out;
end;

```

END.

UNIT ที่ใช้ติดต่อกับ LM629 และ 89C2051 มีรายละเอียดดังนี้

UNIT LM629_and_89C2051;

INTERFACE

uses crt , dos , graph;

const

{PulsePerMetre}

PPM : real = 18.34{rev/m}*400; *{pulse/rev}*

{629 Sample Period}

T629 : real = 2048/6e6;

coef_P : real = 18.34*400; *{=PPM}*

coef_V : real = 2048/6e6*65536*18.34*400; *{T629*65536*PPM}*

coef_A : real = 2048/6e6*2048/6e6*65536*18.34*400; *{T629*T629*65536*PPM}*

{Control bit for lm629 from 8255}

Direction = \$40;

WR_ = \$20;

RD_ = \$10;

PS_ = \$08;

RST_ = \$04;

CS = \$02;

dataout_ = \$01;

{address to select port of 8255 phototypeboard.}

port_a = \$300;

port_b = \$301;

port_c = \$302;

write_control_words = \$303;

{control words to select port}

{xxAxxBxxC}

out_out_out = \$80;

out_in_out = \$82;



```
in_out_out = $90;
```

```
in_in_out = $92;
```

```
Var
```

```
Highbyte , Lowbyte : integer;
```

```
r_pos , r_vel      : longint;
```

```
d_pos , d_vel      : longint;
```

```
Kp , Ki , Kd       : longint;
```

```
Acceleration , Velocity , Position : real;
```

```
FUNCTION Dec2Hex ( dec : integer ) : string;
```

```
FUNCTION Dec2Bin ( dec : integer ) : string;
```

```
PROCEDURE Low ( command : integer );
```

```
PROCEDURE High ( command : integer );
```

```
FUNCTION Status : integer;
```

```
  { BIT 7 = Motor off
```

```
    6 = Breakpoint Reached (Interrupt)
```

```
    5 = Excessive Position Error (Interrupt)
```

```
    4 = Wrap-around Occurred (Interrupt)
```

```
    3 = Index Pulse Observed (Interrupt)
```

```
    2 = Trajectory Complete (Interrupt)
```

```
    1 = Command Error (Interrupt)
```

```
    0 = Busy-bit }
```

```
PROCEDURE Busy_Check;
```

```
PROCEDURE Write_Command ( command : integer );
```

```
PROCEDURE Read_Data;
```

```
PROCEDURE Write_Data ( Highbyte , Lowbyte : integer );
```

```
PROCEDURE Reset_Interrupt ( Lowbyte : integer );
```

```
  { BIT 7 = not used
```

```
    6 = Breakpoint Reached Interrupt
```

```
    5 = Excessive Position Error Interrupt
```

```
    4 = Wrap-around Occurred Interrupt
```

```
    3 = Index Pulse Observed Interrupt
```

2 = *Trajectory Complete Interrupt*

1 = *Command Error Interrupt*

0 = *not used* }

```

PROCEDURE Initial_LM629;
PROCEDURE Filter_Module ( Kp , Ki , Kd : integer );
PROCEDURE Init_Acceleration ( acceleration : real );
PROCEDURE Set_Velocity ( velocity : real );
PROCEDURE Set_Velocity_Rel ( velocity : real );
PROCEDURE SetBreakPoint ( b : real );
PROCEDURE Trajectory_Module ( acceleration , velocity , position : real );
PROCEDURE Stop_Module;
PROCEDURE Start_Module;
FUNCTION Real_Position : real;
FUNCTION DESIRED_POSITION : real;
FUNCTION REAL_VELOCITY : real;
FUNCTION Desired_Velocity : real;
PROCEDURE OutText ( elapsed_time : real );
PROCEDURE Set_PWM ( duty : integer );

IMPLEMENTATION
FUNCTION Dec2Hex ( dec : integer ) : string;
var   hex2 , hex1 : integer;
const a : array [ 0..15 ] of char
      = ( '0','1','2','3','4','5','6','7'
          , '8','9','A','B','C','D','E','F' );
BEGIN
    hex1 := dec mod 16;
    hex2 := dec div 16;
    Dec2Hex := a [ hex2 ] + a [ hex1 ];
END;

```

```

FUNCTION Dec2Bin ( dec : integer ) : string;
var   bin2 , bin1 : integer;

```

```

const a : array [ 0..15 ] of string
      = ( '0000','0001','0010','0011','0100','0101','0110','0111'
        , '1000','1001','1010','1011','1100','1101','1110','1111' );

```

```

BEGIN

```

```

  bin1 := dec mod 16;

```

```

  bin2 := dec div 16;

```

```

  Dec2Bin := a [ bin2 ] + ' ' + a [ bin1 ];

```

```

END;

```

```

PROCEDURE Low ( command : integer );

```

```

BEGIN

```

```

  Port [ port_c ] := port [ port_c ] and not command;

```

```

END;

```

```

PROCEDURE High ( command : integer );

```

```

BEGIN

```

```

  Port [ port_c ] := port [ port_c ] or command;

```

```

END;

```

```

FUNCTION Status : integer;

```

```

BEGIN

```

```

  Low ( PS_ );

```

```

  Low ( RD_ );

```

```

  Status := port [ port_b ];

```

```

  High ( RD_ );

```

```

END;

```

```

PROCEDURE Busy_Check;

```

```

var busy : boolean;

```

```

BEGIN

```

```

  Low ( PS_ );

```

```

  Low ( RD_ );

```



```

repeat
    if status mod 2 =1 then busy := true else busy := false;
until busy = false;
High ( RD_ );

```

```

END;

```

```

PROCEDURE Write_Command ( command : integer );

```

```

BEGIN

```

```

    Low ( PS_ );
    Port [ port_a ] := command;
    Low ( dataout_ );
    Low ( WR_ );
    High ( WR_ );
    High ( dataout_ );
    Busy_Check;

```

```

END;

```

```

PROCEDURE Read_Data;

```

```

BEGIN

```

```

    High ( PS_ );
    Low ( RD_ );
    Highbyte := port [ port_b ];
    High ( RD_ );
    Low ( RD_ );
    Lowbyte := port [ port_b ];
    High ( RD_ );
    Busy_Check;

```

```

END;

```

```

PROCEDURE Write_Data ( Highbyte , Lowbyte : integer );

```

```

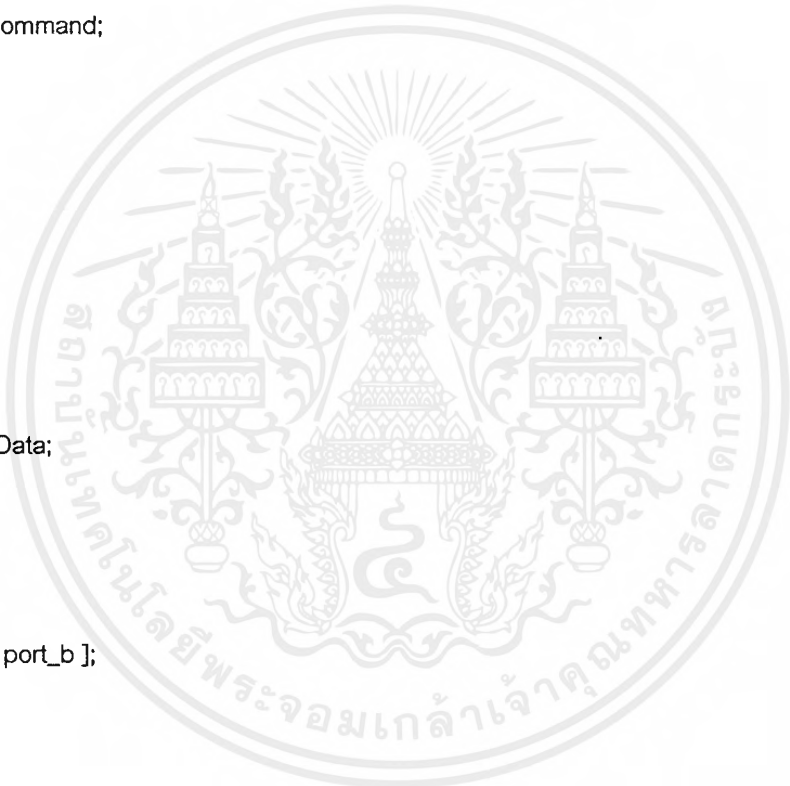
BEGIN

```

```

    High ( PS_ );
    Port [ port_a ] := Highbyte;

```



```

Low ( dataout_ );
Low ( WR_ );
High ( WR_ );
Port [ port_a ] := Lowbyte;
Low ( WR_ );
High ( WR_ );
High ( dataout_ );
Busy_Check;

```

```
END;
```

```
PROCEDURE Reset_Interrupt ( Lowbyte : integer );
```

```
BEGIN
```

```
Write_Command ( $1d );
```

```
Write_Data ( $00 , Lowbyte );
```

```
END;
```

```
FUNCTION Real_Position : real;
```

```
VAR p : longint;
```

```
BEGIN
```

```
Write_Command ( $0a );
```

```
Read_Data;
```

```
P := Highbyte*256+Lowbyte;
```

```
Read_Data;
```

```
P := ( p*256+Highbyte ) * 256 + Lowbyte;
```

```
Real_Position := p/coef_P;
```

```
END;
```

```
FUNCTION DESIRED_POSITION : real;
```

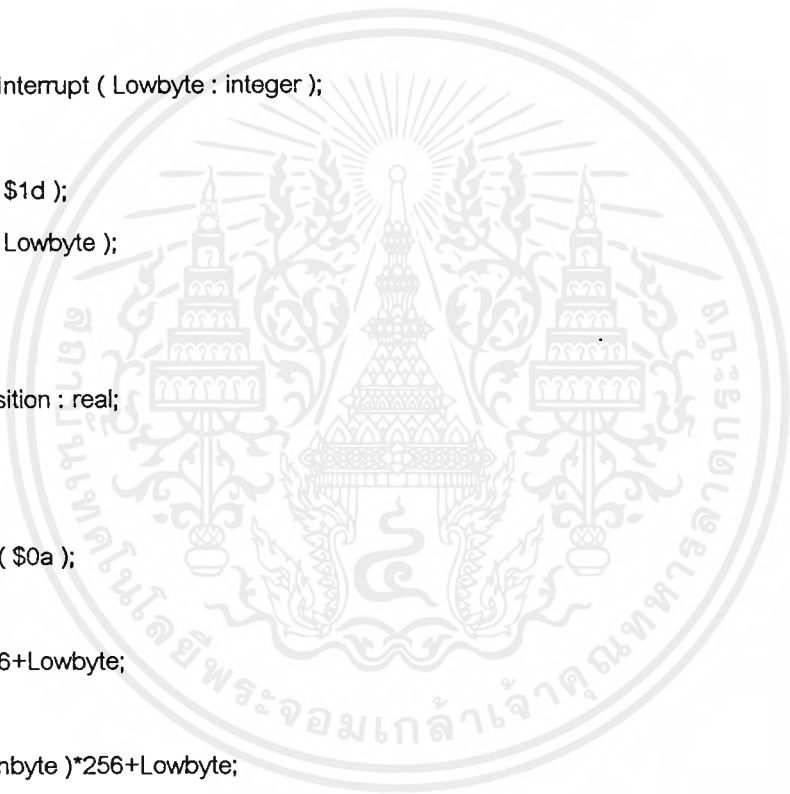
```
VAR p : longint;
```

```
BEGIN
```

```
Write_Command ( $08 );
```

```
Read_Data;
```

```
P := Highbyte*256+Lowbyte;
```



```

Read_Data;
P := ( p*256+Highbyte )*256+Lowbyte;
Desired_Position := p/coef_P;
END;

```

```

FUNCTION REAL_VELOCITY : real;
VAR v : integer;
BEGIN
Write_Command ( $0B );
Read_Data;
V := Highbyte*256+Lowbyte;
Real_Velocity := v/coef_v*65536;
END;

```

```

FUNCTION Desired_Velocity : real;
VAR v : longint;
BEGIN
Write_Command ( $07 );
Read_Data;
V := Highbyte*256+Lowbyte;
Read_Data;
V := ( v*256+Highbyte )*256+Lowbyte;
Desired_Velocity := v/coef_v;
END;

```

```

PROCEDURE Initial_LM629;
BEGIN
repeat
repeat
Low ( RST_ );
Delay ( 1 );
High ( RST_ );
Delay ( 2 );

```



```

Status;
until ( status = $c4 ) or ( status = $84 );
Reset_Interrupt ( $00 );
until ( status = $c0 ) or ( status = $80 );

```

```
END;
```

```
PROCEDURE Filter_Module ( Kp , Ki , Kd : integer );
```

```
BEGIN
```

```
Write_Command ( $1e );    {LFIL Command}
```

```
Write_Data ( $00 , $0e );
```

```
Write_Data ( Kp and $FF00 , Kp and $FF );
```

```
Write_Data ( Ki and $FF00 , Ki and $FF );
```

```
Write_Data ( Kd and $FF00 , Kd and $FF );
```

```
Write_Command ( $04 );    {UDF Command}
```

```
END;
```

```
PROCEDURE Init_Acceleration ( acceleration : real );
```

```
var A : longint;
```

```
BEGIN
```

```
A := round ( acceleration*coef_a );
```

```
Write_Command ( $1f );    {LTRJ Command}
```

```
Write_Data ( $18 , $20 );
```

```
Write_Data ( A and $ff000000 shr 24 , A and $ff0000 shr 16 );
```

```
Write_Data ( A and $ff00 shr 8 , A and $ff );
```

```
Write_Command ( $01 );
```

```
END;
```

```
PROCEDURE Set_Velocity ( velocity : real );
```

```
var V : longint;
```

```
BEGIN
```

```
V := round ( velocity*coef_v );
```

```
Write_Command ( $1f );    {LTRJ Command}
```

```
if v >= 0
```

เอกสารนี้เป็นเอกสารที่สงวนไว้สำหรับการใช้งานเพื่อการศึกษาเท่านั้น ไม่อนุญาตให้นำไปใช้ประโยชน์ด้านการค้า
ไม่ว่ากรณีใดๆ ทั้งสิ้น อีกทั้งห้ามมิให้ตัดแปลงเนื้อหาและต้องอ้างอิงถึงเจ้าของเอกสารทุกครั้งที่มีการนำไปใช้

```

then Write_Data ( $18 , $08 )
else Write_Data ( $08 , $08 );
V := abs ( V );
Write_Data ( V and $ff000000 shr 24 , V and $ff0000 shr 16 );
Write_Data ( V and $ff00 shr 8 , V and $ff );
Write_Command ( $01 );
END;

```

```

PROCEDURE Set_Velocity_Rel ( velocity : real );

```

```

var V : longint;
BEGIN
V := round ( velocity*coef_v );
Write_Command ( $1f );    {LTRJ Command}
Write_Data ( $18 , $0c );
Write_Data ( V and $ff000000 shr 24 , V and $ff0000 shr 16 );
Write_Data ( V and $ff00 shr 8 , V and $ff );
Write_Command ( $01 );
END;

```

```

PROCEDURE SetBreakPoint ( b:real );

```

```

var bp : longint;
BEGIN
Bp := round ( b*coef_p );
Write_command ( $20 );    {SPBA}
Write_Data ( bp and $FF000000 shr 24 , bp and $FF0000 shr 16 );
Write_Data ( bp and $FF00 shr 8 , bp and $FF );
END;

```

```

PROCEDURE Trajectory_Module ( acceleration , velocity , position : real );

```

```

var A , V , P : longint;
BEGIN
A := round ( Acceleration*coef_a );
V := round ( Velocity*coef_v );

```

เอกสารนี้เป็นเอกสารที่สงวนไว้สำหรับการใช้งานเพื่อการศึกษาเท่านั้น ไม่อนุญาตให้นำไปใช้ประโยชน์ด้านการค้า
ไม่ว่ากรณีใดๆ ทั้งสิ้น อีกทั้งห้ามมิให้ตัดแปลงเนื้อหาและต้องอ้างอิงถึงเจ้าของเอกสารทุกครั้งที่มีการนำไปใช้

```

P := round ( Position*coef_p );
Write_Command ( $1f);      {LTRJ Command}
Write_Data ( $00 , $2a );
Write_Data ( A and $ff000000 shr 24 , A and $ff0000 shr 16 );
Write_Data ( A and $ff00 shr 8 , A and $ff );
Write_Data ( V and $ff000000 shr 24 , V and $ff0000 shr 16 );
Write_Data ( V and $ff00 shr 8 , V and $ff );
Write_Data ( P and $ff000000 shr 24 , P and $ff0000 shr 16 );
Write_Data ( P and $ff00 shr 8 , P and $ff );
Write_Command ( $01 );

```

```

END;

```

```

PROCEDURE Stop_Module;

```

```

BEGIN

```

```

Write_Command ( $1f );      {LTRJ Command}
Write_Data ( $01 , $00 );
Write_Command ( $01 );      {STT Command}

```

```

END;

```

```

PROCEDURE Start_Module;

```

```

BEGIN

```

```

Write_Command ( $01 );      {STT Command}

```

```

END;

```

```

PROCEDURE Set_PWM ( duty : integer );

```

```

begin

```

```

if duty >= 0
then High ( Direction )
else Low ( Direction );
if abs ( duty ) > 255 then duty := 255;
port [ port_a ] := abs ( duty );
Low ( $81 );
High ( $81 );

```

```

end;

```

```

END.

```

เอกสารนี้เป็นเอกสารที่สงวนไว้สำหรับการใช้งานเพื่อการศึกษาเท่านั้น ไม่อนุญาตให้นำไปใช้ประโยชน์ด้านการค้า
ไม่ว่ากรณีใดๆ ทั้งสิ้น อีกทั้งห้ามมิให้ตัดแปลงเนื้อหาและต้องอ้างอิงถึงเจ้าของเอกสารทุกครั้งที่มีการนำไปใช้

ภาคผนวก ง

โปรแกรมกำเนิด PWM

โปรแกรมกำเนิด PWM เพื่อป้อนให้กับวงจรขับเคลื่อนมอเตอร์ที่เขียนลงในไมโครคอนโทรลเลอร์

89C2051 เป็นโปรแกรมภาษาแอสเซมบลี รายละเอียดของโปรแกรมแสดงได้ดังนี้

```
ORG 0000H
```

```
JMP START
```

```
*****timer 0 interrupt*****
```

```
ORG 000BH
```

```
;timer 0 interrupt
```

```
SERVICE:
```

```
;port3.0 is PWM output
```

```
MOV A,R1
```

```
CLR C
```

```
SUBB A,R0
```

```
JC ON
```

```
OFF:
```

```
CLR P3.0
```

```
INC R1
```

```
RETI
```

```
ON:
```

```
SETB P3.0
```

```
INC R1
```

```
RETI
```

```
*****initial mcs51*****
```

```
START: MOV IE,#10000010B ;initial timer0
```

```
MOV TMOD,#00000010B ;timer0 mode 2
```

```
MOV TH0,#0F0H ;autoreload 16 clock.
```

```
MOV TL0,#0F0H
```

```
MOV R0,#00H
```

```
MOV    R1,#00H
SETB   TR0                ;start timer
```

```
*****wait command loop*****
```

```
LOOP:  MOV    R0,P1        ;R0 is Buffer from data bus
        JMP    LOOP
```

```
*****
END
```



ภาคผนวก จ

โปรแกรมหาค่าพารามิเตอร์

โปรแกรมหาค่าพารามิเตอร์นี้ใช้หาค่า Feedback Gain (K) ที่ป้อนกลับให้ระบบตามหลักการ Control Law โปรแกรมนี้ใช้ Run ใน MATLAB โดยสามารถกำหนดเลือกค่าโพลของระบบได้ตามต้องการ รายละเอียดของโปรแกรมแสดงได้ดังนี้

```

%*****
%
%          PROGRAM TO DETERMINE COEFFICIENT 'K'
%
%          OF CONTROL LAW
%*****
% define coefficient of system
%
%
%      X = A X + B u
%
%
%      Y = C X + D u
%
%      u = - K X      →      Control Law
%
%*****
A = [ 0      1      0      0;
      9.1688 -0.44  0      2.7938;
      0      0      0      1;
      0      0      0     -1.875];
B = [ 0;      -0.0176; 0;      0.0188];
C = [ 1      0      0      0;
      0      0      1      0];
D = [ 0 ];
%*****
% determine eigen value
eigen      = eig(A);
first_eig  = [1 0 0 0]*eigen;
second_eig = [0 1 0 0]*eigen;

```

```
third_eig = [0 0 1 0]*eigen;
```

```
forth_eig = [0 0 0 1]*eigen;
```

```
%check eigen value be real or complex conjugate
```

```
if imag(first_eig)
```

```
    char_1 = [ 1 - ( first_eig+sen_eig ) (first_eig*second_eig') ];
```

```
else
```

```
    char_1= conv ( [ 1 -first_eig ] , [ 1 -second_eig ] );    end;
```

```
if imag ( third_eig )
```

```
    char_2 = [ 1 - ( third_eig+forth_eig ) ( third_eig*forth_eig ) ];
```

```
else
```

```
    char_2 = conv ( [ 1 -third_eig ] , [ 1 -forth_eig ] );    end;
```

```
char = conv ( char_1 , char_2 );
```

```
%transfer to controllable canonical form
```

```
% X = T Z
```

```
%transfer matrix is T = Uc*W
```

```
Uc = [ B      A*B      A*A*B      A*A*A*B];
```

```
%determine W
```

```
row1 = char* [0 0 0 1;
              0 0 1 0;
              0 1 0 0;
              1 0 0 0;
              0 0 0 0];
```

```
row2 = char* [0 0 1 0;
              0 1 0 0;
              1 0 0 0;
              0 0 0 0;
              0 0 0 0];
```

```
row3 = char* [0 1 0 0;
              1 0 0 0;
              0 0 0 0;
              0 0 0 0;
              0 0 0 0];
```

```

row4 = char* [1 0 0 0;
              0 0 0 0;
              0 0 0 0;
              0 0 0 0;
              0 0 0 0];

```

```
W = [ row1;row2;row3;row4 ];
```

```
%confirm to find transform matrix ( T )
```

```
% X = T Z
```

```
%It's will be
```

```
% . ~ ~
```

```
% Z = A Z + B u
```

```
% ~ ~
```

```
% Y = C Z + D u
```

```
T = Uc*W;
```

```
T1 = inv ( T );
```

```
%test system in controllable form
```

```
%test_A = T1*A*T;
```

```
%test_B = T1*B;
```

```
%*****
```

```
%use pole placement to determine control law.
```

```
%declare the target system
```

```
%if want to tune with target pole
```

```
target_pole = [ -4 ; -4 ; -2.5 ; -2.5 ]; % <<===== Variable
```

```
first_target_pole = [1 0 0 0]*target_pole;
```

```
second_target_pole = [0 1 0 0]*target_pole;
```

```
third_target_pole = [0 0 1 0]*target_pole;
```

```
forth_target_pole = [0 0 0 1]*target_pole;
```

```
if imag ( first_target_pole )
```

```
char_1 = [ 1 - ( first_target_pole+second_target_pole ) (first_target_pole*second_target_pole ) ];
```

```
else
```

เอกสารนี้เป็นเอกสารที่สงวนไว้สำหรับการใช้งานเพื่อการศึกษาเท่านั้น ไม่อนุญาตให้นำไปใช้ประโยชน์ด้านการค้า
ไม่ว่ากรณีใดๆ ทั้งสิ้น อีกทั้งห้ามมิให้ตัดแปลงเนื้อหาและต้องอ้างอิงถึงเจ้าของเอกสารทุกครั้งที่มีการนำไปใช้

```

char_1 = conv ( [ 1 -first_target_pole ] , [ 1 -second_target_pole ] ); end;
if imag ( third_target_pole )
char_2 = [ 1 - ( third_target_pole+forth_target_pole ) ( third_target_pole*forth_target_pole ) ];
else
char_2 = conv ( [ 1 - third_target_pole ] , [ 1 -forth_target_pole ] ); end;
target_char = conv ( char_1 , char_2 );

%target_char = conv ( conv ( [ 1 -first_target_pole ] , [ 1 -second_target_pole ] ) , conv ( [ 1 -
third_target_pole ] , [ 1 -forth_target_pole ] ) );

target_A = [ 0 1 0 0;
0 0 1 0;
0 0 0 1;
-target_char*[0;0;0;1] -target_char*[0;0;0;1;0] -target_char*[0;0;1;0;0] -target_char*[0;1;0;0;0]];

%retransform in X parameter
K_dat = [0 0 0 1]*( A-target_A);
K = K_dat*T1

%plot settling system
impulse ( target_A , B , [ 1 0 0 0 ] , D , 1 , 0 : 0.05 : 6 ); hold;
impulse ( target_A , B , [ 0 1 0 0 ] , D , 1 , 0 : 0.05 : 6 );
impulse ( target_A , B , [ 0 0 1 0 ] , D , 1 , 0 : 0.05 : 6 );
impulse ( target_A , B , [ 0 0 0 1 ] , D , 1 , 0 : 0.05 : 6 );
hold;

```

ภาคผนวก จ

คำสั่งแสดงกราฟเอาร์ทพุทของระบบ

เป็นชุดคำสั่งในโปรแกรม MATLAB เพื่อแสดงกราฟของมุมของก้านเพนดูลัม ความเร็วเชิงมุมของก้านเพนดูลัม ตำแหน่งของรถและความเร็วของรถ เมื่อเวลาเปลี่ยนไป โดยโปรแกรมหลักที่ควบคุมการเคลื่อนที่ของรถจะสร้างเมตริกซ์ m จากค่าตัวแปรในโปรแกรมคือ $time$, $theta_now$, $omega$, $position$ และ $velocity$ เรียงตามคอลัมน์ เมื่อรันโปรแกรมใน MATLAB จะได้กราฟ 5 กราฟตามที่แสดงไว้ในรูปที่ 4.11 - 4.15

```
m = [
0.00  0.00  0.00  0.00  0.00;
0.05 -0.00 -0.04  0.00  0.00;
0.11  0.00  0.08 -0.00 -0.40;
0.16  0.01  0.15 -0.01 -0.40;
0.22  0.03  0.31 -0.03 -0.40;
0.27  0.04  0.31 -0.05  0.00;
0.33  0.04  0.00 -0.05  0.40;
0.38  0.03 -0.19 -0.04  0.40;
0.44  0.01 -0.46 -0.01  0.80;
0.49 -0.02 -0.58  0.02  0.40;
0.55 -0.03 -0.19  0.04  0.00;
0.60 -0.03  0.00  0.04 -0.40;
0.66 -0.01  0.35  0.02 -0.40;
0.71  0.01  0.50 -0.01 -0.40;
0.77  0.02  0.15 -0.03  0.00;
0.82  0.02  0.04 -0.02  0.00;
0.88  0.01 -0.31 -0.01  0.40;
0.93 -0.01 -0.39  0.01  0.40;
0.99 -0.02 -0.04  0.01  0.00;
1.04 -0.01  0.12  0.00 -0.40;
1.10  0.01  0.39 -0.02 -0.80;
```

1.15	0.04	0.58	-0.06	-0.40;
1.21	0.07	0.46	-0.09	-0.40;
1.26	0.08	0.27	-0.10	0.00;
1.32	0.08	-0.08	-0.10	0.00;
1.37	0.06	-0.31	-0.08	0.40;
1.43	0.03	-0.50	-0.05	0.80;
1.48	0.01	-0.42	-0.02	0.40;
1.54	-0.01	-0.35	0.00	0.00;
1.59	-0.00	0.12	0.00	-0.40;
1.65	0.03	0.50	-0.02	-0.40;
1.70	0.05	0.39	-0.04	-0.40;
1.76	0.07	0.35	-0.05	0.00;
1.81	0.07	0.00	-0.05	0.00;
1.87	0.05	-0.23	-0.02	0.80;
1.92	0.03	-0.35	0.00	0.40;
1.98	0.00	-0.62	0.05	0.80;
2.03	-0.01	-0.19	0.07	0.00;
2.09	-0.00	0.15	0.07	0.00;
2.14	0.01	0.27	0.06	0.00;
2.20	0.02	0.12	0.06	0.40;
2.25	0.01	-0.15	0.08	0.40;
2.31	-0.01	-0.42	0.12	0.80;
2.36	-0.04	-0.42	0.15	0.80;
2.42	-0.06	-0.42	0.18	0.40;
2.47	-0.06	0.00	0.18	0.00;
2.53	-0.04	0.31	0.17	0.00;
2.58	-0.03	0.23	0.16	-0.40;
2.64	-0.02	0.23	0.15	0.00;
2.69	-0.01	0.04	0.15	0.40;
2.75	-0.03	-0.27	0.16	0.80;
2.80	-0.05	-0.42	0.18	0.40;
2.86	-0.09	-0.62	0.21	0.40;
2.91	-0.10	-0.19	0.22	-0.40;

เอกสารนี้เป็นเอกสารที่สงวนไว้สำหรับการใช้งานเพื่อการศึกษาเท่านั้น ไม่อนุญาตให้นำไปใช้ประโยชน์ด้านการค้า
ไม่ว่ากรณีใดๆ ทั้งสิ้น อีกทั้งห้ามมิให้ตัดแปลงเนื้อหาและต้องอ้างอิงถึงเจ้าของเอกสารทุกครั้งที่มีการนำไปใช้

2.97	-0.09	0.08	0.20	-0.40;
3.02	-0.08	0.19	0.18	-0.80;
3.08	-0.04	0.69	0.13	-1.20;
3.13	-0.00	0.77	0.07	-0.80;
3.19	0.03	0.62	0.02	-0.80;
3.24	0.04	0.15	-0.00	-0.40;
3.30	0.04	0.08	-0.02	-0.40;
3.35	0.03	-0.19	-0.03	-0.40;
3.41	0.03	0.00	-0.04	-0.40;
3.46	0.04	0.12	-0.06	-0.80;
3.52	0.07	0.46	-0.10	-1.20;
3.57	0.11	0.73	-0.15	-0.80;
3.63	0.13	0.39	-0.19	-0.40;
3.68	0.14	0.23	-0.20	-0.40;
3.74	0.14	0.00	-0.21	0.00;
3.79	0.12	-0.27	-0.20	0.40;
3.85	0.11	-0.35	-0.17	0.40;
3.90	0.08	-0.50	-0.14	1.20;
3.96	0.02	-1.04	-0.08	1.20;
4.01	-0.01	-0.66	-0.02	0.80;
4.07	-0.04	-0.50	0.02	0.40;
4.12	-0.04	-0.04	0.03	0.00;
4.18	-0.03	0.19	0.03	0.00;
4.23	-0.01	0.35	0.02	0.00;
4.29	-0.01	0.08	0.02	0.00;
4.34	-0.02	-0.12	0.04	0.00;
4.40	-0.03	-0.15	0.05	0.40;
4.45	-0.02	0.15	0.05	0.00;
4.51	-0.01	0.04	0.05	0.00;
4.56	-0.02	-0.04	0.06	0.00;
4.62	-0.02	-0.08	0.06	0.00;
4.67	-0.01	0.27	0.05	-0.40;
4.73	0.01	0.23	0.04	0.00;

เอกสารนี้เป็นเอกสารที่สงวนไว้สำหรับการใช้งานเพื่อการศึกษาเท่านั้น ไม่อนุญาตให้นำไปใช้ประโยชน์ด้านการค้า
ไม่ว่ากรณีใดๆ ทั้งสิ้น อีกทั้งห้ามมิให้คัดแปลงเนื้อหาและต้องอ้างอิงถึงเจ้าของเอกสารทุกครั้งที่มีการนำไปใช้

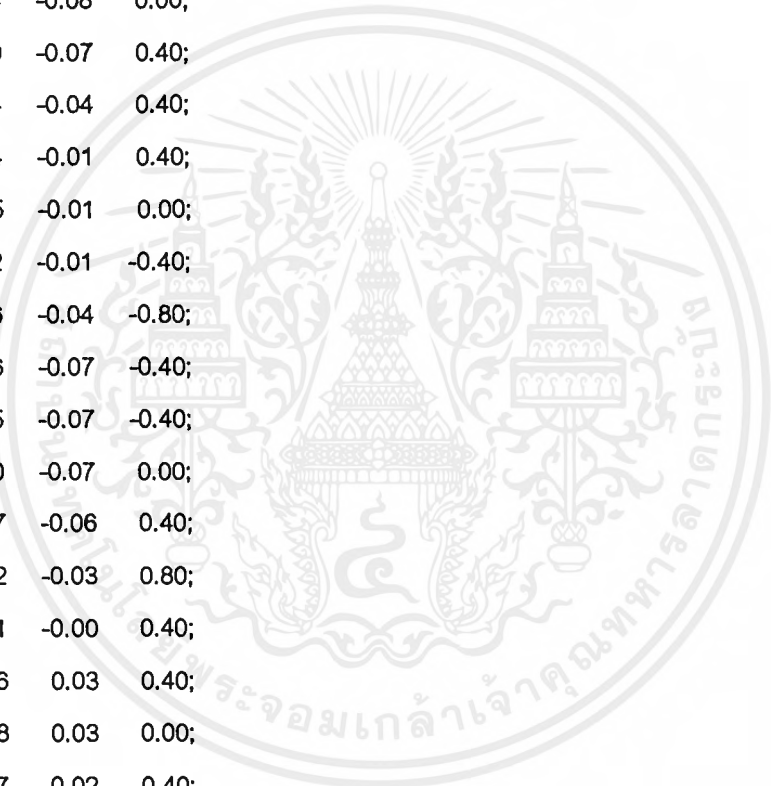
4.78	0.02	0.19	0.03	0.00;
4.84	0.01	-0.04	0.04	0.40;
4.89	-0.02	-0.58	0.06	0.40;
4.95	-0.04	-0.42	0.09	0.40;
5.00	-0.07	-0.46	0.11	0.40;
5.05	-0.07	0.00	0.11	0.00;
5.11	-0.04	0.39	0.08	-0.40;
5.16	-0.03	0.35	0.06	-0.40;
5.22	-0.01	0.27	0.04	-0.40;
5.27	-0.01	-0.04	0.03	0.00;
5.33	-0.02	-0.12	0.03	0.00;
5.38	-0.02	0.04	0.03	-0.40;
5.44	-0.00	0.27	-0.00	-0.40;
5.49	0.02	0.46	-0.04	-0.40;
5.55	0.02	-0.04	-0.06	-0.40;
5.60	0.03	0.19	-0.07	0.00;
5.66	0.04	0.08	-0.08	0.00;
5.71	0.02	-0.27	-0.08	0.40;
5.77	0.00	-0.39	-0.06	0.00;
5.82	-0.01	-0.15	-0.06	0.00;
5.88	-0.00	0.12	-0.08	-0.40;
5.93	0.03	0.50	-0.11	-0.80;
5.99	0.06	0.54	-0.15	-0.40;
6.04	0.07	0.23	-0.17	-0.40;
6.10	0.07	0.12	-0.19	0.00;
6.15	0.07	-0.12	-0.18	0.40;
6.21	0.04	-0.46	-0.17	0.40;
6.26	0.02	-0.39	-0.15	0.40;
6.32	0.01	-0.27	-0.13	0.00;
6.37	0.01	0.12	-0.14	-0.40;
6.43	0.04	0.42	-0.16	-0.40;
6.48	0.06	0.42	-0.18	-0.40;
6.54	0.08	0.39	-0.20	-0.40;

เอกสารนี้เป็นเอกสารที่สงวนไว้สำหรับการใช้งานเพื่อการศึกษาเท่านั้น ไม่อนุญาตให้นำไปใช้ประโยชน์ด้านการค้า
ไม่ว่ากรณีใดๆ ทั้งสิ้น อีกทั้งห้ามมิให้คัดแปลงเนื้อหาและต้องอ้างอิงถึงเจ้าของเอกสารทุกครั้งที่มีการนำไปใช้

6.59	0.08	0.08	-0.21	0.40;
6.65	0.08	-0.12	-0.20	0.40;
6.70	0.06	-0.31	-0.18	0.40;
6.76	0.03	-0.50	-0.14	0.40;
6.81	0.01	-0.39	-0.11	0.40;
6.87	0.02	0.08	-0.10	0.00;
6.92	0.03	0.15	-0.10	0.00;
6.98	0.03	0.12	-0.09	0.40;
7.03	0.03	-0.12	-0.07	0.40;
7.09	-0.00	-0.50	-0.03	0.80;
7.14	-0.02	-0.35	-0.00	0.40;
7.20	-0.04	-0.27	0.03	0.00;
7.25	-0.02	0.23	0.03	-0.40;
7.31	0.00	0.46	0.02	-0.40;
7.36	0.01	0.23	0.01	0.00;
7.42	0.03	0.27	0.01	0.40;
7.47	0.02	-0.12	0.03	0.40;
7.53	-0.00	-0.46	0.06	0.80;
7.58	-0.02	-0.35	0.09	0.80;
7.64	-0.05	-0.54	0.13	0.80;
7.69	-0.08	-0.46	0.16	0.40;
7.75	-0.08	-0.08	0.17	0.00;
7.80	-0.07	0.23	0.17	-0.40;
7.86	-0.04	0.54	0.14	-0.40;
7.91	-0.01	0.58	0.11	-0.40;
7.97	0.01	0.27	0.10	0.00;
8.02	0.00	-0.12	0.10	0.40;
8.08	-0.02	-0.35	0.12	0.80;
8.13	-0.05	-0.66	0.16	0.80;
8.19	-0.09	-0.62	0.19	0.00;
8.24	-0.09	-0.12	0.19	0.00;
8.30	-0.09	0.04	0.18	0.00;
8.35	-0.07	0.42	0.16	-0.80;

เอกสารนี้เป็นเอกสารที่สงวนไว้สำหรับการใช้งานเพื่อการศึกษาเท่านั้น ไม่อนุญาตให้นำไปใช้ประโยชน์ด้านการค้า
ไม่ว่ากรณีใดๆ ทั้งสิ้น อีกทั้งห้ามมิให้ตัดแปลงเนื้อหาและต้องอ้างอิงถึงเจ้าของเอกสารทุกครั้งที่มีการนำไปใช้

8.41	-0.04	0.42	0.13	-0.80;
8.46	-0.01	0.69	0.07	-0.80;
8.52	0.04	0.77	0.02	-0.80;
8.57	0.06	0.39	-0.02	-0.40;
8.63	0.06	0.00	-0.03	-0.40;
8.68	0.06	-0.04	-0.04	-0.40;
8.74	0.06	0.15	-0.06	-0.40;
8.79	0.07	0.19	-0.07	0.00;
8.85	0.07	-0.04	-0.08	0.00;
8.90	0.06	-0.19	-0.07	0.40;
8.96	0.03	-0.54	-0.04	0.40;
9.01	0.00	-0.54	-0.01	0.40;
9.07	-0.01	-0.15	-0.01	0.00;
9.12	0.00	0.12	-0.01	-0.40;
9.18	0.03	0.46	-0.04	-0.80;
9.23	0.05	0.46	-0.07	-0.40;
9.29	0.06	0.15	-0.07	-0.40;
9.34	0.06	0.00	-0.07	0.00;
9.40	0.04	-0.27	-0.06	0.40;
9.45	0.02	-0.42	-0.03	0.80;
9.51	0.00	-0.31	-0.00	0.40;
9.56	-0.02	-0.46	0.03	0.40;
9.62	-0.03	-0.08	0.03	0.00;
9.67	-0.01	0.27	0.02	-0.40;
9.73	0.01	0.39	0.01	-0.40;
9.78	0.02	0.23	-0.01	-0.40;
9.84	0.03	0.08	-0.01	0.40;
9.89	0.01	-0.27	0.02	0.40;
9.95	-0.01	-0.35	0.04	0.80;
10.00	-0.03	-0.46	0.06	0.80;
10.05	-0.06	-0.42	0.09	0.40;
10.11	-0.06	-0.04	0.09	0.00;
10.16	-0.04	0.31	0.08	-0.40;



เอกสารนี้เป็นเอกสารที่สงวนไว้สำหรับการใช้งานเพื่อการศึกษาเท่านั้น ไม่อนุญาตให้นำไปใช้ประโยชน์ด้านการค้า
ไม่ว่ากรณีใดๆ ทั้งสิ้น อีกทั้งห้ามมิให้ตัดแปลงเนื้อหาและต้องอ้างอิงถึงเจ้าของเอกสารทุกครั้งที่มีการนำไปใช้

10.22	-0.02	0.39	0.06	-0.40;
10.27	-0.01	0.15	0.05	0.00;
10.33	-0.02	-0.19	0.05	0.00;
10.38	-0.03	-0.19	0.06	0.00;
10.44	-0.04	-0.12	0.06	-0.40;
10.49	-0.02	0.35	0.04	-0.80;
10.55	0.01	0.58	-0.00	-0.80;
10.60	0.04	0.50	-0.03	-0.80;
10.66	0.06	0.42	-0.06	-0.40;
10.71	0.07	0.08	-0.08	0.00;
10.77	0.06	-0.19	-0.07	0.40;
10.82	0.04	-0.23	-0.05	0.80;
10.88	0.00	-0.77	-0.02	0.80;
10.93	-0.04	-0.73	0.02	0.80;
10.99	-0.06	-0.35	0.04	0.00;
11.04	-0.06	0.04	0.04	0.00;
11.10	-0.04	0.23	0.02	-0.40;
11.15	-0.01	0.50	-0.01	-0.80;
11.21	0.01	0.46	-0.04	-0.40;
11.26	0.02	0.12	-0.06	-0.40;
11.32	0.02	0.12	-0.07	0.00;
11.37	0.02	0.00	-0.08	0.00;
11.43	0.01	-0.23	-0.07	0.40;
11.48	-0.00	-0.23	-0.07	0.00;
11.54	-0.01	-0.08	-0.07	0.00;
11.59	0.01	0.31	-0.09	-0.80;
11.65	0.04	0.62	-0.13	-0.80;
11.70	0.07	0.46	-0.16	-0.80;
11.76	0.09	0.42	-0.19	-0.40;
11.81	0.10	0.12	-0.21	0.00;
11.87	0.09	-0.12	-0.20	0.40;
11.92	0.08	-0.23	-0.18	0.40;
11.98	0.04	-0.66	-0.15	0.80;

เอกสารนี้เป็นเอกสารที่สงวนไว้สำหรับการใช้งานเพื่อการศึกษาเท่านั้น ไม่อนุญาตให้นำไปใช้ประโยชน์ด้านการค้า
ไม่ว่ากรณีใดๆ ทั้งสิ้น อีกทั้งห้ามมิให้คัดแปลงเนื้อหาและต้องอ้างอิงถึงเจ้าของเอกสารทุกครั้งที่มีการนำไปใช้

12.03	0.01	-0.62	-0.11	0.80;
12.09	0.00	-0.15	-0.09	0.00;
12.14	0.00	0.04	-0.09	0.00;
12.20	0.02	0.35	-0.10	0.00;
12.25	0.03	0.19	-0.10	0.00;
12.31	0.03	-0.15	-0.08	0.40;
12.36	0.01	-0.27	-0.05	0.80;
12.42	-0.03	-0.73	-0.01	1.20;
12.47	-0.06	-0.62	0.04	0.40;
12.53	-0.08	-0.35	0.06	0.40;
12.58	-0.09	-0.08	0.07	0.00;
12.64	-0.07	0.31	0.06	-0.40;
12.69	-0.04	0.54	0.03	-0.40;
12.75	-0.02	0.35	0.01	-0.40;
12.80	-0.00	0.35	-0.01	0.00;
12.86	-0.01	-0.08	-0.01	0.00;
12.91	-0.02	-0.19	0.00	0.00;
12.97	-0.02	-0.04	0.00	-0.40;
13.02	-0.00	0.31	-0.02	-0.40;
13.08	0.02	0.42	-0.05	0.00;
13.13	0.03	0.15	-0.06	0.00;
13.19	0.03	0.00	-0.06	0.00;
13.24	0.01	-0.35	-0.05	0.00;
13.30	-0.01	-0.31	-0.03	0.00;
13.35	-0.00	0.08	-0.04	-0.40;
13.41	0.01	0.15	-0.05	-0.80;
13.46	0.04	0.62	-0.09	-0.80;
13.52	0.08	0.77	-0.14	-0.80;
13.57	0.11	0.42	-0.17	-0.40;
13.63	0.12	0.23	-0.17	-0.40;
13.68	0.12	0.00	-0.17	0.40;
13.74	0.11	-0.23	-0.15	0.40;
13.79	0.07	-0.58	-0.11	1.20;

เอกสารนี้เป็นเอกสารที่สงวนไว้สำหรับการใช้งานเพื่อการศึกษาเท่านั้น ไม่อนุญาตให้นำไปใช้ประโยชน์ด้านการค้า
ไม่ว่ากรณีใดๆ ทั้งสิ้น อีกทั้งห้ามมิให้ตัดแปลงเนื้อหาและต้องอ้างอิงถึงเจ้าของเอกสารทุกครั้งที่มีการนำไปใช้

```

13.85  0.04  -0.54  -0.07  1.20;
13.90  -0.01  -0.93  -0.00  1.20;
13.96  -0.06  -1.00  0.07  0.80;
14.01  -0.10  -0.62  0.12  0.80;

```

```

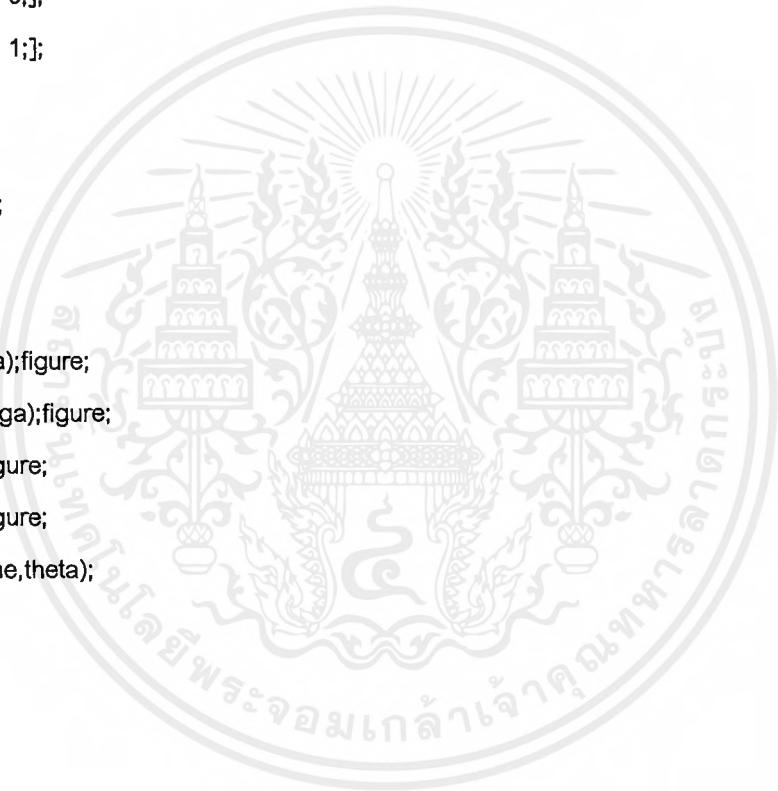
];

c1=[1; 0; 0; 0; 0;];
c2=[0; 1; 0; 0; 0;];
c3=[0; 0; 1; 0; 0;];
c4=[0; 0; 0; 1; 0;];
c5=[0; 0; 0; 0; 1;];

time=m*c1;
theta=m*c2;
omega=m*c3;
x=m*c4;
v=m*c5;

plot(time,theta);figure;
plot(time,omega);figure;
plot(time,x);figure;
plot(time,v);figure;
plot(time,x,time,theta);

```



บรรณานุกรม

KATSUHIKO OGATA," Modern Control Engineering ". Englewood Cliffs, N.J.: Printice-Hall, Inc., 1990.

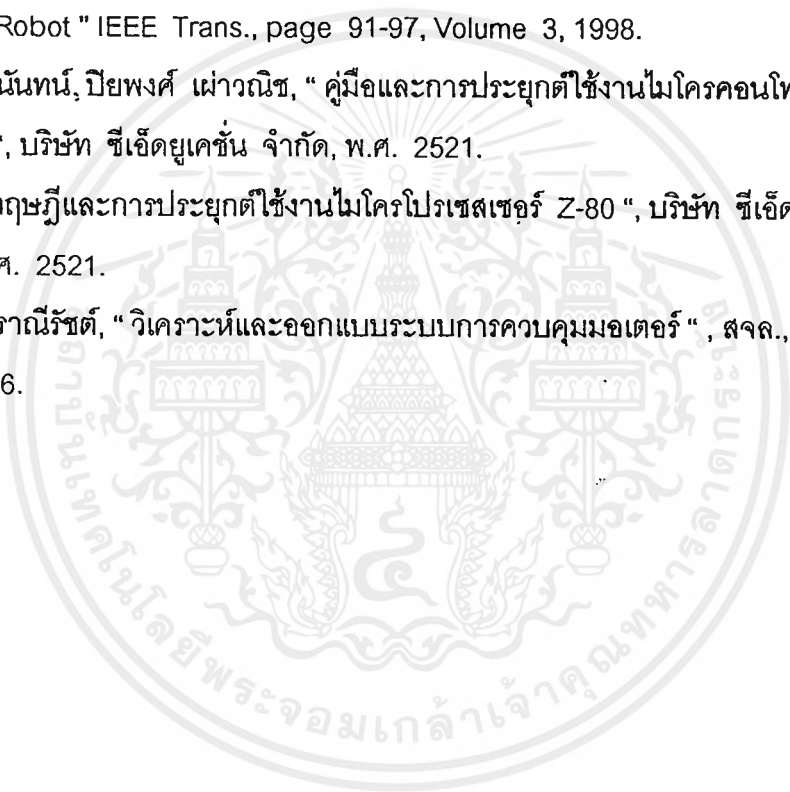
KATSUHIKO OGATA," Designing Linear Control Systems with MATLAB® ", Printice Hall, Inc., 1994.

Sprenger B., Kucera L., Mourad S., " Balancing of an Inverted Pendulum with a SCARA Robot " IEEE Trans., page 91-97, Volume 3, 1998.

ปรเมษฐ์ ประณยานันท์, ปิยะพงศ์ เผ่าวณิช, " คู่มือและการประยุกต์ใช้งานไมโครคอนโทรลเลอร์ MCS-51 ", บริษัท ซีเอ็ดดูเคชั่น จำกัด, พ.ศ. 2521.

ยีน ภูววรรณ, " ทฤษฎีและการประยุกต์ใช้งานไมโครโปรเซสเซอร์ Z-80 ", บริษัท ซีเอ็ดดูเคชั่น จำกัด, พ.ศ. 2521.

ผศ. โยธิน เปรมปราณีรัตน์, " วิเคราะห์และออกแบบระบบการควบคุมมอเตอร์ ", สจล., กันยายน พ.ศ. 2526.



กิตติกรรมประกาศ

ปริญญานิพนธ์ฉบับนี้สามารถสำเร็จลงได้ด้วยดี เพราะได้รับคำปรึกษาและความอนุเคราะห์ช่วยเหลือจาก รองศาสตราจารย์ ดร. จงกล งามวิวิทย์ และ อาจารย์สุมิตร พนาอุดมทรัพย์ อาจารย์ที่ปรึกษา คณะผู้จัดทำขอกราบขอพระคุณเป็นอย่างสูงมา ณ โอกาสนี้ด้วย และต้องขอขอบพระคุณอาจารย์ประจำภาควิชาวิศวกรรมศาสตร์ สถาบันเทคโนโลยีพระจอมเกล้าเจ้าคุณทหารลาดกระบังทุกท่าน ที่ได้ประสิทธิ์ประสาทวิชาความรู้แก่คณะผู้จัดทำ

